

**SURVEI POTENSI PASIR KUARSA DENGAN METODE GEOLISTRIK
RESISTIVITAS KONFIGURASI WENNER DAN SCHUMBERGER DI
PANTAI LOWITA KAB. PINRANG SULAWESI SELATAN**



Skripsi

Diajukan Untuk Memenuhi Salah Satu Syarat Untuk Meraih Gelar Sarjana Sains
Jurusan Fisika pada Fakultas Sains dan Teknologi
UIN Alauddin Makassar

Oleh:

MURIYATI TAMRIN
60400115016

**FAKULTAS SAINS DAN TEKNOLOGI
UNIVERSITAS ISLAM NEGERI ALAUDDIN MAKASSAR
2019**

PERNYATAAN KEASLIAN SKRIPSI

Dengan penuh kesadaran, penulis yang bertanda tangan dibawah ini menyatakan bahwa skripsi ini benar adalah hasil karya penyusun sendiri. Jika dikemudian hari terbukti bahwa ia merupakan duplikat, tiruan, plagiat atau dibuat oleh orang lain, sebagian atau seluruhnya, maka skripsi atau gelar yang diperoleh karenanya batal karena hukum.

Samata, November 2019

Penyusun

MURIYATI TAMRIN




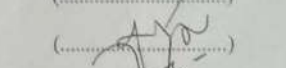
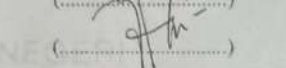

Nim : 60400115016

PENGESAHAN SKRIPSI

Kripsi dengan judul "Survei Potensi Pasir Kuarsa Dengan Metode Geolistrik Konfigurasi *Wenner* Dan *Schlumberger* Di Pantai Lowita Kabupaten Pinrang Sulawesi Selatan" yang disusun oleh MURIYATI TAMRIN, Nim: 60400115016 Mahasiswa Jurusan Fisika pada Fakultas Sains dan Teknologi Universitas Islam Negeri Alauddin Makassar, telah diuji dan dipertahankan dalam sidang *Munaqasyah* yang diselenggarakan pada hari Senin tanggal 18 November 2019 M, bertepatan dengan 21 Rabi'ul awwal 1441 H dinyatakan dapat diterima sebagai salah satu syarat untuk meraih gelar Sarjana dalam ilmu Sains, Jurusan Fisika.

Samata, 18 November 2019 M
21 Rabi'ul Awwal 1441 H

DEWAN PENGUJI

Ketua	: Prof. Dr. Muhammad Halifah Mustami, M.Pd (.....)	
Sekretaris	: Ihsan, S.Pd., M.Si (.....)	
Penguji I	: Muh. Said, L, S.Si., M.Pd (.....)	
Penguji II	: Dr. Abdullah, M.Ag (.....)	
Pembimbing I	: Rahmaniah, S.Si., M.Si (.....)	
Pembimbing II	: Ayusari Wahyuni, S.Si., M.Sc (.....)	

Diketahui Oleh:


Dekan Fakultas Sains dan Teknologi
Universitas Islam Negeri Alauddin Makassar
Dr. Muhammad Halifah Mustami, M.Pd
197114022000031001

KATA PENGANTAR

Puji syukur kehadirat Allah SWT, atas limpahan Rahmat dan Karunia-Nya, sehingga penulis dapat menyelesaikan skripsi yang berjudul “**SURVEI POTENSI PASIR KUARSA DENGAN METODE GEOLISTRIK RESISTIVITAS KONFIGURASI WENNER DAN SCHUMBERGER DI PANTAI LOWITA KAB. PINRANG SULAWESI SELATAN**”. Sebagai syarat untuk menyelesaikan program Strata-1 Jurusan Fisika, Fakultas Sains dan Teknologi UIN Alauddin Makassar.

Penulis menyadari sepenuhnya, dalam penyusunan skripsi ini tidak lepas dari tantangan dan hambatan namun berkat pertolongan dari Allah Swt dan dukungan, bantuan serta doa dari berbagai pihak sehingga skripsi ini dapat terwujud. Oleh karena itu penulis mengucapkan terimakasih kepada seluruh pihak yang telah membantu hingga selesainya penulisan skripsi ini, dan kepada

1. Kedua orang tua terkasih Ayahanda **Drs. Tamrin** dan ibunda **Dra. Murni** yang senantiasa mencurahkan perhatian dan dukungannya serta sumber penyemangat bagi penulis.
2. Bapak **Prof. Dr H. Musafir Pababbari, M.Si** selaku Rektor UIN Alauddin Makassar periode 2015-2019.
3. Bapak **Prof. H. Hamdan Juhannis, M.A., Ph.D** selaku Rektor UIN Alauddin Makassar periode 2019-2023
4. Bapak **Prof. Dr. H. Arifuddin, M.Ag** selaku Dekan Fakultas Sains dan Teknologi UIN Alauddin Makassar beserta Pembantu Dekan I, Pembantu Dekan II dan Pembantu Dekan III periode 2015-2019.

5. Bapak **Prof. Dr. Muhammad Halifah Mustami, M.Pd.** selaku Dekan Fakultas Sains dan Teknologi UIN Alauddin Makassar beserta Pembantu Dekan I, Pembantu Dekan II dan Pembantu Dekan III periode 2015-2019 serta seluruh staf administrasi yang telah memberikan berbagai fasilitas kepada kami selama pendidikan.
6. Ibu **Sahara, S.Si., Ph.D,** selaku ketua Jurusan Fisika, Fakultas Sains Dan Teknologi UIN Alauddin Makassar periode 2015-2019.
7. Bapak **Ihsan, S.Si., M.Si** selaku sekretaris Jurusan Fisika Fakultas Sains Dan Teknologi periode 2015-2019 yang saat ini sedang menjabat sebagai ketua Jurusan Fisika dan pembimbing akademik yang telah membantu selama masa studi.
8. Bapak **Muh. Said L, S.Si., M.Pd.** selaku sekertaris Jurusan Fisika Fakultas Sains dan Teknologi sekaligus selaku penguji I yang telah memberikan kritik dan saran yang membangun dalam penyelesaian skripsi ini
9. Ibu **Rahmaniah, S.Si., M.Si,** dan ibu **Ayusari Wahyuni, S.Si., M.Sc,** selaku pembimbing I dan II yang telah mencurahkan ilmu dan waktu untuk membimbing penulis sehingga penulis dapat menyelesaikan skripsi ini.
10. Bapak **Dr Abdullah, M.Ag** selaku penguji II yang telah memberikan kritik dan saran yang membangun untuk perbaikan skripsi ini.
11. Bapak Ibu Dosen Jurusan Fisika, Fakultas Sains Dan Teknologi UIN Alauddin Makassar yang telah membekali dan meberikan bantuannya dalam penyusunan skripsi ini.

12. Kepada laboran fisika Bapak **Abdul Mun'im, ST. MT.** Bapak **Mukhtar, ST. MT.** Bapak Akhmat Yani, S.Si. dan Ibu **Nurhaisah, S.Si.** yang telah memberikan bantuan kepada penulis hingga terselesaikannya tugas akhir ini.
13. Seluruh staf jurusan dan staf akademik Fakultas Sains dan Teknologi yang telah banyak membimbing dan membantu penulis selama ini.
14. Kepada pembimbing lapangan kakak **Kahar**, kakak **Akbar** dan kakak **fadli** yang telah membantu dalam melakukan kegiatan penelitian.
15. Rekan-rekan mahasiswa yang telah setia mendengarkan keluhan dan meberi dekungan kepada penulis terkhusus bagi teman-teman angkaran 2015 (**Resistor**).

Akhir kata penulis menyadari bahwa dalam penulisan skripsi ini masih jauh dari kesempurnaan. Karena itu, penulis memohon saran dan kritik yang sifatnya membangun demi kesempurnaannya dan semoga bermanfaat bagi kita semua.

Samata, November 2019

Penyusun

DAFTAR PUSTAKA

SAMPUL.....	i
PERNYATAAN KEASLIAN SKRIPSI.....	ii
PENGESAHAN SKRIPSI	iii
KATA PENGANTAR	viiv
DAFTAR PUSTAKA	vii
DAFTAR GAMBAR	Error! Bookmark not defined.
DAFTAR TABEL.....	Error! Bookmark not defined.
ABSTRAK	xi
ABSTRACT	xii
BAB I PENDAHULUAN.....	1
I.1 Latar belakang.....	1
I.2 Rumusan Masalah	3
I.3 Tujuan Penelitian	3
I.4 Ruang Lingkup Penelitian.....	4
I.5 Manfaat Penelitian	4
BAB II TINJAUAN PUSTAKA.....	5
2.1 Geologi regional	5
2.2 Pasir Kuarsa.....	5
2.3 Metode Geolistrik.....	9
2.2.1 Konfigurasi wenner.....	19
2.2.3 Konfigurasi Schlumberger	18
2.2.3 Konfigurasi wenner-schlumberger	21
2.3 IP2WIN.....	22
2.4 Res2Dinv	23
BAB III METODE PENELITIAN.....	24
3.1 Waktu dan Tempat Penelitian	24
3.2 Alat dan Bahan	25
3.3 Prosedur penelitian	26

3.3.1. Akuisisi data di lapangan.....	26
3.3.2. Pengolahan data	30
3.4 Bagan Alir	33
BAB IV HASIL DAN PEMBAHASAN	34
4.1 Kondisi Umum Lokasi Penelitian	34
4.2 Sebaran Mineral.....	35
4.2.1 Lintasan 1 (konfigurasi <i>wenner</i>)	35
4.2.2 Lintasan 1 (konfigurasi <i>schlumberger</i>).....	37
4.2.3 Lintasan 2 (konfigurasi <i>Wenner</i>)	40
4.2.4 Lintasan 2 (konfigurasi <i>schlimberger</i>).....	42
BAB V PENUTUP.....	47
5.1 Kesimpulan.....	47
5.2 Saran.....	47
DAFTAR PUSTAKA	48
RIWAYAT HIDUP	
LAMPIRAN	

DAFTAR GAMBAR

Gambar 2.1	Aliran arus metode geolistrik.....	16
Gambar 2.2	Susunan elektroda konfigurasi Schlumberger	18
Gambar 2.3	Susunan elektroda konfigurasi Wenner	20
Gambar 2.4	Bentuk konfigurasi Wenner-Schlumberger	21
Gambar 2.5	Pengaturan elektroda konfigurasi Wenner-Schlumberger...	22
Gambar 3.1	Peta lintasan	24
Gambar 3.2	Alat dan bahan	25
Gambar 3.3	Rangkaian konfigurasi Schlumberger	27
Gambar 3.4	Susunan elektroda konfigurasi Wenner	28
Gambar 4.1	Penampang semu dan Penampang Resistivitas 2D	35
Gambar 4.2	(a)Grafik Resistivitas; (b)Nialai resistivitas kedalaman titik.....	37
Gambar 4.3	Penampang semu dan Penampang Resistivitas 2D.....	40
Gambar 4.4	:(a) Grafik Resistivitas; (b) Nialai resistivitas kedalaman titik.....	43
Gambar 4.5	Peta geologi lokasi penelitian	43

DAFTAR TABEL

Tabel 2.1	Sifat-sifat kuarsa	7
Tabel 2.2	Nilai resistivitas beberapa material batuan dan tanah.....	12
Tabel 3.1	Pengambilan data dilapangan	27
Tabel 3.2	Pengambilan data dilapangan	29
Tabel 3.3	Pengolahan data dengan <i>Software M.s Office</i> excel	30
Tabel 3.4	Pengolahan data dengan <i>Software M.s Office</i> excel	31
Tabel 4.1	Nilai Resitivitas Wenner.....	36
Tabel 4.2	Nilai Resitivitas Schlumberger	38
Tabel 4.3	Nilai resistivitas Wenner.....	40
Tabel 4.4	Nilai Resitivitas Schlumberger	43

ABSTRAK

Nama : Muriyati Tamrin

Nim : 60400115016

**Judul : Survei Potensi Pasir Kuarsa dengan Metode Geolistrik
Konfigurasi Wenner dan Schlumberger di Pantai
Lowita Kab. Pinrang Sulawesi Selatan**

Penelitian dilakukan di desa Tasiwalie kecamatan Suppa kabupaten Pinrang provinsi Sulawesi Selatan bertujuan untuk mengetahui potensi pasir kuarsa di pantai Lowita. Material yang teridentifikasi pada pengukuran dengan metode geolistrik *resistivitas* diduga adalah kuarsit, magnetit ilmenite, lempung dan lanau. Sebaran pasir kuarsit di pantai Lowita teridentifikasi pada lintasan 1 dengan kedalaman 0,799 meter dan ketebalan 0,799 meter menggunakan konfigurasi *Schlumberger* di koordinat 03°58'43,2" LS dan 119°34'38,3" BT, pada lintasan 2 juga teridentifikasi sebaran pasir kuarsit dengan kedalaman 1,25-6,55 meter dan 13,4-17,3 meter dengan konfigurasi *Wenner* sedangkan dengan pengukuran konfigurasi *Schlumberger* teridentifikasi pada lapisan 1 dan 4 dimana pada lapisan 1 teridentifikasi pada kedalaman 1,22 meter dan ketebalan 1,22 meter dan pada lapisan 4 teridentifikasi pada kedalaman yang tak berhingga dengan titik koordinat 03°58'38,44" LS dan 119°34'37,8" BT.

Kata Kunci : Geolistrik, Pasir Kuarsa, Resistivitas, konfigurasi *Wenner*, *Schalumberger*

ABSTRACT

Nama : Muriyati Tamrin

Nim : 60400115016

Title : SURVEY OF QUARTZ SAND POTENTIAL WITH WENNER AND SCHLUMBERGER CONFIGURATION GEOELECTRIC METHODS AT LOWITA BEACH, KAB. PINRANG, SOUTH SULAWESI

The study was conducted in the village of Tasiwalie, Suppa sub-district, Pinrang province, South Sulawesi, aims to determine the potential of quartz sand on Lowita beach. The material identified by the geoelectric method is quartzite, magnetite ilmenite, clay and silt. Distribution of quartzite sand at Lowita coast was identified at the first line with a depth of 0.799 meters and 0.799 meters the thickness is using by Schlumberger configuration at the coordinates $03^{\circ}58'43.2''\text{S}$ and $119^{\circ}34'38.3''\text{E}$, on the second line also identified about distribution of quartzite with a depth of 1.25-6.55 meters and 13.4-17.3 meters by Wenner configuration and then Schlumberger configuration was identified in the first layers and the fourth layer which the thickness and depth one 1.22 meters with coordinates $03^{\circ}58'38.44''\text{S}$ and $119^{\circ}34'37.8''\text{E}$.

Keywords :Geoelectric, Quartz Sand, Resistivity, Wenner, Schlumberger configuration

BAB I

PENDAHULUAN

1.1 Latar belakang

Kabupaten Pinrang terletak dibagian tengah Provinsi Sulawesi Selatan. Geografis Kabupaten Pinrang terletak pada koordinat $3^{\circ}19'13''$ LS hingga $4^{\circ}10'30''$ LS dan $119^{\circ}26'30''$ BT hingga $119^{\circ}26'30''$ BT, berbatasan dengan Kabupaten Tana Toraja di sebelah utara, Kabupaten Enrekang dan Sidenreng di sebelah timur, Kabupaten Polewali dan selat Makassar di sebelah barat serta kota madya Parepare di selatan dengan luas daerah $1961,77\text{km}^2$, Kabupaten Pinrang memiliki garis pantai sepanjang 93 km dengan ketinggian dari laut 0 m hingga lebih dari 1000 m di atas permukaan laut, jenis tanah di kabupaten Pinrang terdiri dari *Aluvial kelabu*, *Grumosol kelabu*, *Aluvial hidromorf*, *Regosol kelabu*, *Aluvial kelabu kekuningan*, *Aluvial kelabu olif*, *Regosol coklat kelabu*, *Regosol kelabu kekuningan*, *Brown forest soil*, *Fodsolik coklat* dan *Fodsolik coklat kekuningan* (BPS Kabupaten Pinrang 2008).

Kabupaten Pinrang memiliki bentang alam yang beragam mulai dari daerah pegunungan, dataran hingga pesisir dapat dijumpai di Kabupaten Pinrang, khusus daerah pesisir sendiri banyak dimanfaatkan sebagai kawasan wisata dengan berbagai konsep yang dikelola oleh masyarakat secara mandiri maupun oleh pemerintah daerah. Berdasarkan survei awal yang dilakukan di pantai Lowita, terdapat area pesisir dengan pasir berwarna cenderung putih yang mengindikasikan bahwa pasir tersebut merupakan pasir kuarsa, hal ini

dimungkinkan karena pasir kuarsa berasal dari lapukan batuan beku dimana batuan beku terdapat hampir disebagian wilayah Indonesia tidak terkecuali di Kabupaten Pinrang.

Pasir kuarsa memiliki manfaat yang cukup penting bagi manusia, baik sebagai bahan baku utama maupun bahan baku ikutan, pasir kuarsa diantaranya dapat digunakan dalam industri gelas, optik, bahan bangunan dan masih banyak lagi, banyaknya manfaat dari pasir kuarsa maka dapat dilakukan berbagai eksplorasi pasir kuarsa di beberapa daerah di Indonesia khususnya daerah yang dianggap memiliki cadangan pasir kuarsa cukup besar seperti di Sumatra Barat, Kalimantan Barat serta Jawa Barat.

Berdasarkan penelitian yang telah dilakukan Rais Tutu (2015), di Desa Sulili kabupaten Pinrang, dengan jarak yang tidak jauh dari Pantai Lowita, komposisi kimia dari sedimen di kawasan panas bumi Sulili yang teridentifikasi adalah SiO_2 , Al_2O_3 , TiO_2 , CaO , MgO , dan K_2O dimana menurut Alimin komposisi ini merupakan komposisi dominan yang terkandung dalam pasir kuarsa.

Terdapat beberapa metode yang dapat digunakan untuk mengidentifikasi pasir kuarsa di antaranya adalah metode XRD, XRF dan geolistrik, pada penelitian ini digunakan metode geolistrik resistivitas (tahanan jenis), yang merupakan salah satu metode geofisika yang dapat digunakan untuk mengidentifikasi kandungan mineral di suatu daerah dengan menginjeksikan arus listrik kedalam permukaan bumi dengan elektroda. Metode ini terdiri dari beberapa konfigurasi yakni aturan peletakan elektroda, konfigurasi yang akan digunakan dalam penelitian ini adalah konfigurasi wenner dan konfigurasi

schlumberger. Dibandingkan dengan konfigurasi yang lain konfigurasi wenner dan konfigurasi schlumberger merupakan konfigurasi yang cocok digunakan untuk melakukan survei potensi pasir kuarsa karena melalui konfigurasi ini dapat menghasilkan data mengenai kedalaman maupun penyebaran pasir kuarsa disuatu daerah. Dari uraian tersebut maka telah dilakukan penelitian untuk mengetahui sumber daya pasir kuarsa di pantai Lowita Kabupaten Pinrang.

1.2 Rumusan Masalah

Rumusan masalah pada penelitian ini yaitu:

1. Material apa saja yang teridentifikasi pada pengukuran dengan metode geolistrik *resistivitas* di Pantai Lowita Kabupaten Pinrang?
2. Bagaimana sebaran pasir kuarsa menggunakan metode geolistrik *resistivitas* di pantai Lowita Kabupaten Pinrang?

1.3 Tujuan Penelitian

Tujuan dilakukannya penelitian ini adalah:

1. Untuk mengetahui material yang dapat teridentifikasi pada pengukuran dengan metode geolistrik *resistivitas* di Pantai Lowita Kabupaten Pinrang.
2. Untuk mengetahui sebaran pasir kuarsa menggunakan metode geolistrik *resistivitas* di pantai Lowita Kabupaten Pinrang.

1.4 Ruang Lingkup Penelitian

Guna menghasilkan penelitian yang baik, maka ditentukan pembahasan yang akan diteliti, yang terdiri dari:

1. Penelitian ini dilakukan di pantai Lowita, Desa Tasiwalie Kecamatan Suppa Kabupaten Pinrang, Sulawesi Selatan.
2. Penelitian ini akan dilakukan dengan pengukuran yang terdiri dari 2 lintasan.
3. Penelitian ini menggunakan metode geolistrik resistivitas konfigurasi *wenner* dan *schlumberger*.
4. Penelitian ini menggunakan alat resistivimeter serta pengolahan data lapangan. menggunakan *software Ms. Excel, Res2Dinv, IP2win* dan *notepad*.
5. Penelitian ini dilakukan dua kali pengukuran pada dua titik lintasan

1.5 Manfaat Penelitian

Manfaat yang diperoleh dari penelitian ini adalah sebagai berikut:

1. Memberikan informasi kepada pemerintah dan masyarakat mengenai kandungan pasir kuarsa di pantai Lowita Kabupaten Pinrang.
2. Membuka peluang usaha bagi industri pengolahan pasir kuarsa.
3. Menjadi rujukan penelitian dalam pengembangan eksplorasi pasir kuarsa.

BAB II

TINJAUAN PUSTAKA

2.1 Geologi regional

Area penelitian dipetakan dalam peta geologi lembar Majene dan Palopo bagian barat, dimana area penelitian terletak pada mandala geologi Sulawesi Barat dimana mandala ini identik dengan batu sedimen laut dalam yang berumur kapur. Paleogen yang selanjutnya berkembang menjadi batuan gunung api bawah laut dan berubah menjadi gunung api darat diakhir tersier (Sukamto 1975).

Batuan tertua pada lembar geologi Majene dan Palopo bagian barat adalah batuan terobosan (Tmpi) yang terdiri dari batuan beku bersifat asam hingga menengah seperti *granit*, *granodiorite*, *diorit*, *sienit*, *monzonit kuarsa* dan *riolit*, area penelitian berada pada satuan termuda yakni satuan aluvium (Qa) dimana endapan aluvium merupakan batuan sedimen, pada daerah penelitian endapan tersebut terdiri dari lempung, lanau, pasir dan kerikil batuan ini umumnya mengandung partikel mineral kuarsa, *felspart* serta mineral-mineral pengotor lainnya (Sukamto 1975).

2.2 Pasir Kuarsa

Indonesia memiliki berbagai potensi mineral salah satunya adalah potensi sumber daya alam bahan baku pembuatan silika murni yaitu pasir kuarsa yang melimpah dan tersebar di sebagian besar wilayah Indonesia. Pasir kuarsa yang tersebar di Indonesia memiliki kualitas dan ciri khas yang berbeda tergantung kondisi di daerah tersebut, hal ini dapat mempengaruhi jenis produk apa saja yang

dapat diproduksi dari pasir kuarsa yang ditambang dari suatu daerah tergantung kualitas kandungan silikanya. Salah satu jenis pasir kuarsa dengan kualitas yang baik yaitu pasir kuarsa silika dengan kadar SiO_2 diatas 97% dengan pengotor alumina dan besi yang rendah. Pasir kuarsa jenis ini sangat cocok untuk dikembangkan sebagai bahan baku gelas, *presipitat* dan pembuatan silikon (Sulistiyono, 2004).

Lebih jelasnya pasir kuarsa adalah bahan galian yang terdiri dari kristal-kristal silika (SiO_2) yang juga mengandung berbagai senyawa pengotor yang terbawa selama proses pengendapan. Pasir kuarsa yang lebih dikenal dengan nama pasir putih merupakan hasil pelapukan batuan yang mengandung mineral utama, seperti kuarsa dan biji batuan. Hasil pelapukan tersebut kemudian tercuci dan terbawa oleh air atau angin yang terendapkan di tepi-tepi sungai, danau, atau laut. Pasir kuarsa mengandung kumpulan dari SiO_2 , Fe_2O_3 , Al_2O_3 , TiO_2 , CaO , MgO , dan K_2O , berwarna cenderung putih bening atau warna lain tergantung pada senyawa pengotornya (Pitriani, 2010).

Banyak dari para peneliti telah melakukan analisis kimia terhadap pasir kuarsa dengan menggunakan difraksi sinar-X sehingga diketahui bahwa pasir kuarsa mempunyai komponen utama silika (SiO_2) dimana atom-atom silika tersusun atas satuan satuan *tetrahedron* dengan atom silika sebagai pusat dengan empat atom oksigen terikat pada sudut *tetrahedron* (Clark, 1960).

Pasir kuarsa merupakan hasil pelapukan dari batuan yang mengandung mineral utama, seperti kuarsa dan feldspar. Hasil pelapukan lalu tercuci dan

terbawa oleh air atau angin yang terendapkan di tepi-tepi sungai, danau atau laut. Silika sendiri tidak reaktif terhadap *hidrogen, khlor, brom*, kebanyakan asam dan senyawa-senyawa besi pada temperatur kamar. Silika tereduksi oleh karbon serta sejumlah logam yang bereaksi dengan oksida dasar, karbonat dan sebagainya pada temperatur yang relatif tinggi untuk menghasilkan silika. Umumnya, senyawa pengotor tersebut terdiri atas oksida besi, oksida kalsium, oksida alkali, oksida magnesium, lempung dan zat organik hasil pelapukan bangkai hewan atau tumbuhan (Fairus, 2009).

Tabel 2.1 Sifat-sifat kuarsa

Sifat-sifat	Nilai
Berat jenis	2,651 N/m^3
Titik lebur	1728 °c
Indeks bias	1,544
Sistem Kristal	Heksagonal
Belahan Kristal	Sulit
Konstanta dielektrik	4,5

(Sumber: Norton, 1974)

Jauh sebelum ilmuan melakukan penelitian tentang pasir di dalam Al-Qur'an telah disinggung tentang pasir, salah satunya pada QS Al-Ahqaf /21

﴿وَأَذْكُرَ أَخَا عَادٍ إِذْ أَنْذَرَ قَوْمَهُ بِالْأَحْقَافِ وَقَدْ خَلَّتِ النُّذُرُ مِنْ بَيْنِ يَدَيْهِ وَمِنْ

خَلْفِهِ أَلَّا تَعْبُدُوا إِلَّا اللَّهَ إِنِّي أَخَافُ عَلَيْكُمْ عَذَابَ يَوْمٍ عَظِيمٍ﴾

Terjemahnya:

“Dan ingatlah (Hud) saudara kamu ‘Ad, yaitu ketika dia mengingatkan kaumnya tentang bukit-bukit pasir, dan sesungguhnya telah berlalu beberapa orang pemberi peringatan sebelumnya dan setelahnya (dengan berkata), “Janganlah kamu menyembah selain Allah, aku sungguh khawatir nanti kamu ditimpa azab pada hari yang besar.” (QS Al-Ahqaf:21)

(Dan ingatlah saudara kaum Ad) yakni Nabi Hudd a.s. (yaitu ketika) mulai lafal idz dan seterusnya menjadi Badal Isyimal (dia memberi peringatan kepada kaumnya) maksudnya, menakuti mereka (di Al-Ahqaf) nama sebuah lembah tempat tinggal mereka yang terletak di negeri yaman (dan sesungguhnya telah terdahulu beberapa orang pemberi peringatan) beberapa orang rasul (sebelumnya dan sesudahnya) sebelum Nabi Hud datang dan sesudahnya, kepada kaumnya masing-masing seraya mengatakan, (janganlah kalian menyembah selain Allah) jumlah waqad Khalat merupakan jumlah Mu'taridhah, atau kalimat sisipan (sesungguhnya aku khawatir kalian) jika kalian menyembah kepada selain Allah (akan ditimpa azab hari yang besar) (Al-jalalain: 2014).

Selain itu lebih jauh lagi dalam Al-Qur'an juga dijelaskan bagaimana proses terbentuknya pasir yakni dalam Q.S Al-Muzzammil/73:14 yang berbunyi :

يَوْمَ تَرُجُّفُ الْأَرْضُ وَالْجِبَالُ وَكَانَتِ الْجِبَالُ كَثِيبًا مَهِيلاً ﴿١٤﴾

Terjemahannya:

Pada hari bumi dan gunung-gunung bergoncang, dan menjadilah gunung-gunung itu tumpukan-tumpukan pasir yang berterbangan (Q.S Al-Muzzammil 73:14).

Ayat di atas menceritakan mengenai proses pembentukan pasir dimana karena gempa bumi dan gunung-gunung berubah menjadi tumpukan-tumpukan pasir, pasir tersebut yang berterbaran menjadi debu dimana sebelumnya debu tersebut adalah gunung-gunung yang kokoh bersatu (Al-Mahally,1990).

2.3 Metode Geolistrik

Metode geolistrik mulai dikembangkan oleh Conrad Schlumberger sejak tahun 1912. Metode geolistrik merupakan cabang ilmu geofisika yang mempelajari bumi dan lingkungannya berdasarkan sifat-sifat kelistrikan batuan. Sifat ini meliputi tahanan jenis, konduktifitas, konstanta dielektrik, kemampuan menimbulkan potensial listrik sendiri, dengan menginjeksikan arus listrik ke bawah permukaan bumi melalui dua elektroda arus dan distribusi potensial yang dihasilkan diukur menggunakan elektroda potensial (Dobrin, 1981).

Geolistrik merupakan salah satu metode geofisika, dimana geofisika adalah ilmu yang menyelidiki mengenai bumi dengan prinsip fisika. Dalam Al-Qur'an sendiri telah dibahas mengenai penyelidikan dalam beberapa ayat salah satunya dalam Q.S. Ali-Imran 3:190 yang berbunyi:

إِنَّ فِي خَلْقِ السَّمَوَاتِ وَالْأَرْضِ وَأَخْتَلَفِ اللَّيْلِ وَالنَّهَارِ لآيَاتٍ لِأُولِي الْأَلْبَابِ



Terjemahannya:

Sesungguhnya dalam penciptaan langit dan bumi, dan silih bergantinya malam dan siang dan terdapat tanda-tanda bagi orang-orang yang berakal (Q.S. Ali-Imran 3:190).

“Sesungguhnya dalam penciptaan langit dan bumi” Yakni yang ini dalam ketinggian dan keluasannya, dan yang ini dalam hamparannya, kepadatannya serta tata letaknya, dan semua yang ada pada keduanya berupa tanda-tanda yang dapat disaksikan lagi amat besar, seperti bintang-bintang yang beredar dan yang tetap, lautan, gunung-gunung dan padang pasir, pepohonan, tumbuh-tumbuhan, tanam-tanaman dan buah-buahan serta hewan-hewan, barang-barang tambang, serta berbagai macam manfaat yang bermacam warna, bermacam-macam rasa, bau, dan kegunaannya. *“Dan silih bergantinya malam dan siang”* maksudnya, saling bergiliran dan saling mengurangi panjang dan pendeknya; adakalanya yang ini panjang, sedangkan yang lainnya pendek, kemudian keduanya menjadi sama. Setelah itu yang ini mengambil sebagian waktu dari yang lain hingga ia menjadi panjang waktunya, yang sebelum itu pendek, dan menjadi pendeklah yang tadinya panjang. Semuanya itu berjalan berdasarkan pengaturan dari Tuhan Yang Mahaperkasa lagi Maha Mengetahui. Karena itu, dalam firman selanjutnya disebutkan *“terdapat tanda-tanda bagi orang-orang yang berakal”* Yaitu akal-akal yang sempurna lagi memiliki kecerdasan, karena hanya yang demikianlah yang dapat mengetahui segala sesuatu dengan hakikatnya masing-masing secara jelas dan gamblang. Lain halnya dengan orang yang tuli dan bisu serta orang-orang yang tak berakal (Al-Mahally,1990).

Geofisika sendiri meliputi metode potensial diri, metode arus telurik, magnetotelurik, elektromagnetik, IP (Induced Polarization), dan resistivitas (tahanan jenis). Dari berbagai metode geofisika yang diterapkan dalam geolistrik, metode tahanan jenis adalah metode yang paling umum digunakan karena lebih mudah dari metode lain, alat yang relatif murah serta hanya membutuhkan sedikit orang dalam proses penelitian. Metode ini umumnya digunakan untuk eksplorasi mineral yang sifatnya dangkal, keterbatasan dari metode ini adalah sulit menjangkau informasi lapisan di kedalaman lebih dari 1000 kaki sampai 1500 kaki atau 300 meter sampai 500 meter. Oleh karena itu metode ini jarang digunakan untuk eksplorasi minyak bumi yang umumnya berada jauh dibawah permukaan yang bahkan dapat mencapai kedalaman 2800 meter, metode ini lebih banyak digunakan dalam bidang *engineering geology* seperti penentuan kedalaman basement (batuan dasar), pencarian reservoir air (air tanah), dan eksplorasi geothermal (panas bumi) (Wuryantoro, 2007).

Cara kerja dari metode geolistrik adalah dengan mengetahui sifat kelistrikan dari medium batuan di bawah permukaan yang juga berhubungan dengan kemampuannya untuk mengetahui resistivitas (Todd,1980).

Batuan sendiri merupakan suatu materi yang memiliki sifat-sifat kelistrikan yang merupakan karakteristik dari batuan tersebut yang besarnya sangat beragam, bergantung dari media pembentuk batuan itu sendiri. Sifat listrik ini dapat berasal dari alam yang akan muncul jika terjadi gangguan kesetimbangan atau dengan sengaja dimasukkan arus listrik ke dalam batuan, sehingga terjadi ketidak seimbangan muatan di dalamnya (Dobrin, 1981).

Dari semua sifat fisika batuan dan mineral, resistivitas memiliki variasi harga yang sangat beragam. Pada mineral-mineral logam misalnya, harganya berkisar $10^{-8} \Omega\text{m}$, mineral dengan kandungan berbeda akan menghasilkan nilai interval resistivitas yang bervariasi pula. Kebanyakan mineral pembentuk batuan memiliki kemampuan penghantar listrik yang tidak baik karena kepadatannya walaupun, beberapa logam asli dan *grafit* menghantarkan listrik resistivitas yang terukur pada material bumi utamanya ditentukan oleh pergerakan ion-ion bermuatan positif dan negatif dalam pori-pori fluida. Air tanah umumnya berisi campuran terlarut yang dapat menambah kemampuannya untuk menghantar listrik, meskipun air tanah bukan konduktor listrik yang baik variasi resistivitas material bumi ditunjukkan sebagai berikut (Wuryantoro, 2007).

Tabel 2.2: Nilai resistivitas beberapa material batuan dan tanah

Material Resistivity	Resistivitas (Ωm)
Kalkosit (<i>Chalcocite</i>)	3×10^{-5} -0,6
Galena (<i>galena</i>)	3×10^{-5} - 3×10^2
Pirit (<i>Pyrite</i>)	$2,9 \times 10^{-5}$ -1,5
Pirhotit (<i>Pyrrhotite</i>)	$6,5 \times 10^{-6}$ - 5×10^{-2}
Molibdenit (<i>Molybdenite</i>)	10^{-3} - 10^6
Bornit (<i>Bornite</i>)	$2,5 \times 10^{-5}$ -0,5
Stannite	10^{-3} - 10^6

Stibnit (<i>Stibnite</i>)	10^5 - 10^{12}
Sfalerit (<i>Sphalerite</i>)	$1,5 \cdot 10^7$
Kobal (<i>Cobaltite</i>)	$3,5 \times 10^{-4}$ - 10^{-1}
Arsenopirit (<i>Arsenopyrite</i>)	2×10^{-4} - 10^{-1}
Niccolite (<i>Niccolite</i>)	10^{-7} - 2×10^{-3}
Bauksit (<i>Bauxite</i>)	2×10^2 - 6×10^{-3}
Cuprite (<i>Cuprite</i>)	10^{-3} -300
Kromit (<i>Chromite</i>)	1 - 10^6
Bijih besi (<i>Hematite</i>)	$3,5 \times 10^{-3}$ - 10^7
Limonit (<i>Limonite</i>)	10^3 - 10^7
Magnetite (<i>Magnetite</i>)	5×10^{-5} - $5,7 \times 10^3$
Ilmenit (<i>Ilmenite</i>)	10^{-3} -50
Wolframite (<i>Wolframite</i>)	10 - 10^5
Pyrolusite (<i>Pyrolusite</i>)	5×10^{-3} -10
Quartz (<i>Quartz</i>)	4×10^{10} - 2×10^{14}
Kuarsit (<i>Quartzite</i>)	$10 \Omega m$ – 2×10^8

Cassirite (<i>Cassirite</i>)	4×10^{-4} - 10^4
Rutil (<i>Rutile</i>)	30-1000
Uraninit (<i>Uraninite</i>)	1-200
Garam kasar (<i>Rock salt</i>)	$30 \cdot 10^{13}$
Silvit (<i>Sylvite</i>)	10^{11} - 10^{12}
Berlian (<i>Diamond</i>)	10 - 10^{14}
Serpentine	2×10^2 - 3×10^3
Hornblende (<i>Hornblende</i>)	2×10^2 - 10^6
Mika (<i>Mica</i>)	9×10^2 - 10^{14}
Biotit (<i>Biotite</i>)	2×10^2 - 10^6
Batubara Bitum (<i>Bitum coal</i>)	$0,6 \times 10^5$
Antrasit (<i>Anthracite</i>)	9-200
Batu bara muda (<i>Lignite</i>)	$30 \cdot 10^3$
Air tanah	0,5-300
Pasir	$1 \cdot 10^3$
Batu pasir	$1 - 6,4 \times 10^8$

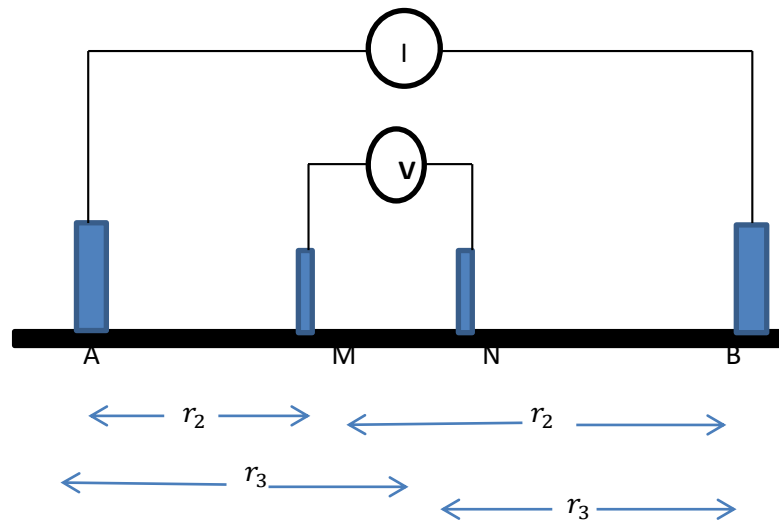
Tufa	20-100
Pasir besi	0,13-2,87
Breksi	5-200
Dasit	2×10^4
Syenite	$10^2 \times 10^6$
Gabbro	$10^3 \times 10^6$
Lempung (<i>clay</i>)	1-100
Batu lanau	$5.6 \cdot 10^8$

(Sumber :Telford dkk, 1990)

Geolistrik merupakan salah satu metode di bidang geofisika yang mempelajari sifat aliran listrik material di bawah permukaan bumi. Pendeteksian di atas permukaan meliputi pengukuran beda potensial, arus, dan elektromagnetik yang terjadi baik secara alamiah ataupun akibat penginjeksian arus ke dalam bumi. Prinsip kerja metode geolistrik dilakukan dengan menginjeksikan arus listrik ke permukaan tanah melalui sepasang elektroda lalu mengukur beda potensial dengan sepasang elektroda yang lain. Apabila arus listrik diinjeksikan ke dalam suatu medium dan diukur beda potensialnya (tegangan), maka nilai hambatan dari medium tersebut dapat diperkirakan (Wijaya.2015).

Resistivitas dapat ditentukan dari suatu tahanan jenis semu yang dihitung dari pengukuran perbedaan potensial antara elektroda yang ditempatkan di bawah

permukaan. Pengukuran suatu beda potensial antara dua elektroda (Sudaryo, 2008).



Gambar 2.1: Aliran arus metode geolistrik

Kedua elektroda arus yang dipasang dengan jarak tertentu seperti yang ditunjukkan pada Gambar 2.1 dapat menyebabkan potensial pada titik-titik dekat permukaan yang dipengaruhi oleh kedua elektroda arus tersebut (Bahri, 2005).

Aliran arus yang keluar dari titik sumber membuat medan potensial dengan arus potensial berbentuk permukaan setengah bola dibawah permukaan. Dalam hal ini, arus mengalir melalui permukaan setengah bola. Susunan keempat elektroda seperti pada gambar 2.1 di atas merupakan susunan elektroda yang biasanya digunakan dalam metode geolistrik resistivitas. Pada setiap konfigurasi garis-garis aliran arus potensial dipengaruhi oleh jarak kedua elektroda arus. Perubahan dari garis-garis potensial yang melingkar lebih jelas pada daerah antara dua elektroda arus (karisma, 2013).

Geolistrik resistivitas merupakan metode geolistrik yang mempelajari sifat resistivitas (tahanan jenis) listrik dari lapisan material di bawah permukaan bumi. Metode ini dilakukan dengan menginjeksikan arus listrik ke bawah permukaan bumi melalui dua buah elektroda arus dan melakukan pengukuran beda potensial melalui dua buah elektroda potensial. Hasil pengukuran arus dan beda potensial listrik akan dapat dihitung variasi harga resistivitas pada lapisan bawah permukaan bumi di bawah titik ukur (sounding point). Terdapat banyak konfigurasi elektroda yang dapat digunakan pada metode geolistrik, diantaranya adalah konfigurasi wenner-schlumberger, konfigurasi dipole-dipole, konfigurasi pole-dipole dan lain-lain (Hendrajaya, 1990).

Beberapa konfigurasi dalam metode geolistrik dibedakan atas susunan elektrodanya, baik posisi elektroda, maupun jarak elektroda tersebut yang memiliki ukurannya masing-masing. Dalam Q.S Al-Qamar juga disinggung mengenai ukuran. Ayat tersebut berbunyi:

إِنَّا كُلَّ شَيْءٍ خَلَقْنَاهُ بِقَدَرٍ ﴿٤٩﴾

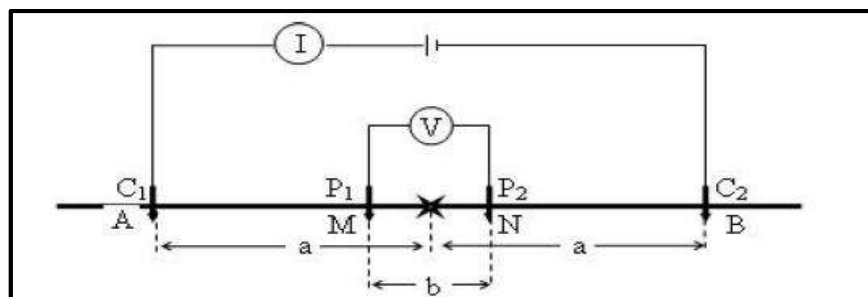
Terjemahannya:

Sungguh, kami menciptakan segala sesuatu menurut ukuran (Q.S Al-Qamar 54:49).

“Sesungguhnya segala sesuatu itu kami” dinasabkan oleh Fi’il yang terdapat pada firman selanjutnya yang berfungsi menafsirkannya, “ciptaan menurut ukuran” masing-masing. Menurut suatu qiraat lafal Kulla dibaca Kullu dan dianggap sebagai Mubtada, sedangkan Khabarnya adalah lafal Khalaqnaahu (Al-Mahally,1990).

2.2.1 Konfigurasi Schlumberger

Conrad Schlumberger adalah orang yang memperkenalkan konfigurasi Schlumberger, konfigurasi ini cukup umum digunakan di Eropa. Seperti halnya konfigurasi lain yang dapat digunakan sebagai pengukur resistivitas namun konfigurasi schlumberger untuk VES (*vertical electric sounding*) konfigurasi ini memiliki perbedaan pada peletakan elektroda-elektrodanya. Konfigurasi schlumberger biasanya digunakan untuk melakukan pengukuran pada resistivitas secara vertikal (kedalaman). Pada konfigurasi ini jarak MN (elektroda potensial) dibuat sedekat mungkin, sehingga jarak MN (elektroda potensial) tidak berubah, tetapi karena kurang sensitifnya alat ukur, sehingga ketika jarak AB (elektroda arus) sudah lebih besar maka jarak MN (elektroda potensial) harus diubah. Perubahan jarak MN (elektroda potensial) sebaiknya tidak lebih besar dari $1/5$ jarak AB (elektroda arus). Keunggulan dari konfigurasi ini adalah dapat mendeteksi adanya lapisan non-homogenitas batuan pada permukaan, yakni dengan membandingkan nilai resistivitas semu ketika terjadi perubahan jarak elektroda $MN/2$. Agar pembacaan tegangan pada elektroda MN (elektroda potensial) dapat dipercaya, maka ketika jarak AB relatif besar maka jarak elektroda MN (elektroda potensial) juga diperbesar (Telford, 1990).



Gambar 2.2: Susunan elektroda konfigurasi Schlumberger

Keterangan:

C_1C_2 (AB) = Sepasang elektroda arus (m)

P_1P_2 (MN) = Sepasang elektroda potensial (m)

a = Jarak elektroda arus ke pusat susunan elektroda (m)

b = Jarak elektroda potensial ke pusat susunan elektroda (m)

Persamaan resistivitasnya dirumuskan dengan:

$$\rho = k \frac{\Delta V}{I} \quad (2.1)$$

Dimana,

$$k = \frac{\pi(L^2 - I^2)}{2I} \quad (2.2)$$

Keterangan:

ρ = Tahanan jenis semu (Ωm)

ΔV = Beda potensial (Volt) antara sepasang elektroda P dan P1

I = Kuat arus (mA) yang dialirkan melalui elektroda C

k = Faktor geometri elektroda

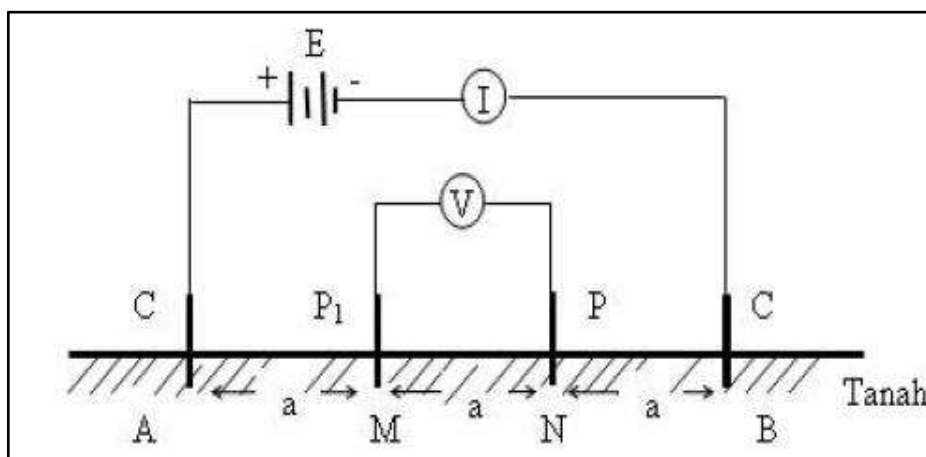
L = Jarak Konstanta

I = Kuat arus (mA) yang dialirkan melalui elektroda C1 dan C2

2.2.2 Konfigurasi Wenner

Konfigurasi Wenner merupakan metode yang diperkenalkan oleh Wenner (1915). Konfigurasi ini merupakan salah satu konfigurasi yang cukup umum digunakan dalam melakukan eksplorasi geolistrik yang menggunakan susunan jarak spasi sama panjang. Pada konfigurasi ini jarak antara elektroda arus tiga kali

jarak elektroda potensial, jarak potensial dengan titik sounding adalah $2/a$, sehingga jarak masing-masing elektroda arus dengan titik sounding adalah $2/3a$. Kedalaman yang mampu dijangkau pada metode ini adalah $2/a$. Dalam akuisisi data lapangan susunan elektroda arus dan potensial diletakkan simetri dengan titik sounding. Konfigurasi Wenner memiliki susunan elektroda terletak dalam satu garis yang simetris terhadap titik tengah konfigurasi ini juga memiliki resolusi vertikal yang cukup baik serta memiliki sensitivitas terhadap perubahan lateral yang cukup tinggi namun lemah terhadap penetrasi arus kedalam (horizontal). Berikut adalah Susunan elektroda konfigurasi Wenner (Andrias Sangra Wijaya, 2015).



Gambar 2.3: Susunan elektroda konfigurasi Wenner

Faktor geometri dari konfigurasi *Wenner* adalah:

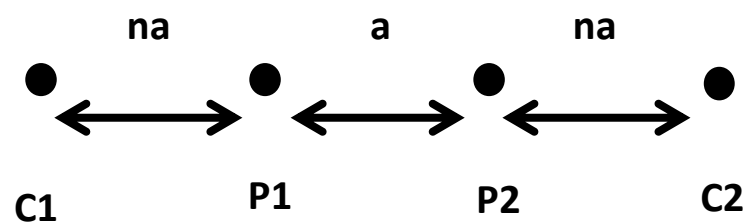
$$k = 2\pi a \quad (2.3)$$

Dimana:

k = Faktor geometri konfigurasi Wenner (m)

a = Jarak antara elektroda (m)

2.2.3 Konfigurasi Wenner-Schlumberger



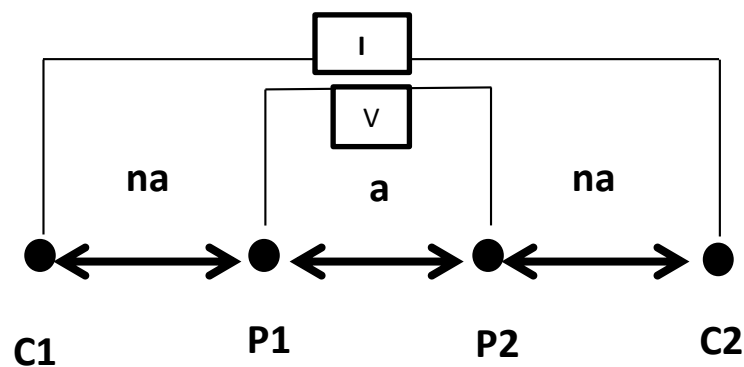
Gambar 2.4: Bentuk konfigurasi Wenner-Schlumberger

Bumi tersusun atas lapisan-lapisan tanah yang nilai resistivitas suatu lapisan tanah atau batuan tertentu berbeda dengan nilai resistivitas lapisan tanah atau batuan lainnya. Nilai resistivitas ini dapat diketahui dengan menghubungkan baterai dengan sebuah ampere meter dan elektroda arus untuk mengukur sejumlah arus yang mengalir ke dalam tanah, selanjutnya ditempatkan dua elektroda potensial dengan jarak a untuk mengukur perbedaan potensial antara dua lokasi (Utama, 2005).

Konfigurasi Wenner-Schlumberger adalah konfigurasi dengan sistem aturan spasi yang konstan dengan catatan faktor “ n ” untuk konfigurasi ini adalah perbandingan jarak antara elektroda C1-P1 (atau C2-P2) dengan spasi antara P1-P2 seperti pada Gambar 2.4. Jika jarak antar elektroda potensial (P1 dan P2) adalah a maka jarak antar elektroda arus (C1 dan C2) adalah $2na + a$. Proses

penentuan resistivitas menggunakan 4 buah elektroda yang diletakkan dalam sebuah garis lurus (Sakka, 2001).

Pada konfigurasi Wenner-Schlumberger merupakan catatan perbandingan yakni perbandingan jarak antara elektroda C1-P1 atau C2-P2 dengan jarak antara P1-P2 seperti pada Gambar 2.5 Jika jarak antara elektroda potensial P1-P2 adalah a maka jarak antar elektroda arus (C1 dan C2) adalah $2na+a$ (Utiya, 2015).



Gambar 2.5 Pengaturan elektroda konfigurasi Wenner-Schlumberger

Faktor geometri dari konfigurasi Wenner-Schlumberger adalah:

$$k = n(n + 1)\pi \quad (2.4)$$

Dimana:

k = Faktor geometri konfigurasi Wenner (m)

a = Jarak antara elektroda (m)

n = faktor rasio elektroda

2.3 IP2WIN

Software yang dapat digunakan untuk mengolah data geolistrik dari titik VES (*vertical Electrical Sounding*) adalah Software IP2Win. Software ini dapat

digunakan untuk melakukan pengolahan data geolistri dengan metode IP (*Induced Polarization*) dengan beragam konfigurasi seperti konfigurasi *wenner*, *schlumberger* atau *wenner-schlumberger*. Terdapat tahapan-tahapan yang harus dilalui dalam penggunaan Software IP2Win dimana tahapannya adalah penginputan data, koreksi *error* data, penambahan data dan pembuatan *cross section*. data yang diinput adalah data langsung dari lapangan (data AB/2, I, V dan *k*) ataupun data tidak langsung (data *k* dan Ω) data hasil olahan Software IP2Win berupa *resistivity layer*, grafik *log*, resistivitas terhadap AB/2, *resistivity cross section* dan *pseudo cross section*, namun software ini masih memiliki kekurangan diantaranya masih terdapat *bug* atau *error* sehingga terkadang pada tahapan pengolahan data tertentu program harus *restart* (mengeluarkan program untuk kemudian memulai program kembali) (Kurniawan,2009).

2.4 Res2Dinv

Selain software IP2Win software Res2Dinv juga dapat digunakan mengolah data yang diperoleh dari pengukuran geolistrik. software Res2Dinv ini akan secara otomatis menghitung nilai resistivitas dalam bentuk inversi 2D lapisan bawah permukaan dari data pengukuran geolistrik. Pendugaan jenis dan lapisan mineral di bawah permukaan diperoleh dengan mencocokkan nilai resistivitas berbagai material dengan nilai resistivitas sebenarnya yang merupakan hasil perhitungan dari data penelitian (Kurniawan,2009).

BAB III

METODE PENELITIAN

3.1 Waktu dan Tempat Penelitian

Penelitian ini telah dilaksanakan pada hari sabtu 4 Mei 2019 bertempat di Pantai Lowita Kecamatan Suppa Kabupaten Pinrang Provinsi Sulawesi Selatan dengan titik koordinat lintasan 1 untuk konfigurasi wenner dan schlumberger yaitu $03^{\circ} 58' 42,2''$ LS dan $119^{\circ} 34' 38,3''$ BT lintasan 2 dengan konfigurasi *wenner* dan *schlumberger* yaitu $03^{\circ} 58' 38,44''$ LS dan $119^{\circ} 34' 37,8''$ BT.



Gambar 3.1: Peta lintasan

3.2 Alat dan Bahan

Alat dan bahan yang digunakan pada penelitian ini adalah sebagai berikut:



Gambar 3.2: Alat dan bahan

- a. *Resistivitymeter* jenis *single chanel*
- b. *Accumulator* 12 V 5 A
- c. Kabel konektor
- d. Kabel tegangan
- e. Kabel arus
- f. Elektroda potensial
- g. Elektroda arus
- h. Meteran
- i. Palu
- j. Laptop
- k. *GPS (global position system)*
- l. *Software* Microsoft excel

m. *Software Res2Dinv*

n. *Software IP2win*

o. *Software Notepad*

3.3 Prosedur Penelitian

3.3.1. Akuisisi Data di Lapangan

Pengambilan data lapangan atau akuisisi data geolistrik resistivitas dilakukan dengan konfigurasi *wenner* dan konfigurasi *schlumberger* dimana setiap konfigurasi dilakukan pada 2 lintasan.

Berikut tahapan-tahapan akuisisi data lapangan geolistrik resistivitas:

1. Metode geolistrik konfigurasi *Schlumberger*

- a) Menyiapkan alat dan bahan.
- b) Membentangkan meteran (pada lintasan 1 sepanjang 100 meter dan lintasan 2 sepanjang 180 meter).
- c) Menentukan titik *sounding* dan mencatat titik koordinat titik *sounding*.
- d) Menentukan jarak spasi elektroda arus dan elektroda dari titik *sounding*, kemudian memasang elektroda arus dan elektroda potensial dengan menggunakan aturan konfigurasi *schlumberger*.
- e) Membentangkan kabel dan menghubungkan ujung kabel pada masing-masing elektroda dan sisi lainnya dipasang pada alat *resistivitymeter* seperti gambar 3.3 berikut:

$$\rho = k \frac{\Delta V}{\Delta I}$$

Keterangan:

AB/2 (a) = Jarak elektroda arus ke pusat susunan elektroda (m)

MN/2 (b) = Jarak elektroda potensial ke pusat susunan elektroda (m)

I = Arus yang diinjeksikan ke bawah permukaan (mA)

V = Tegangan di bawah permukaan (mV)

k = Faktor geometri *Schlumberger* (m)

ρ = Resistivitas (Ωm)

ΔV = Jumlah tegangan di bawah permukaan (mV)

ΔI = Jumlah arus yang diinjeksikan ke bawah permukaan (mA)

2. Metode geolistrik konfigurasi *Wenner*

- a. Menyiapkan alat dan bahan yang digunakan
- b. Membentangkan meteran pada lintasan sepanjang 105 meter
- c. Memasang elektroda dengan jarak spasi 5 meter.
- d. Mencatat titik koordinat setiap elektroda
- e. Membentangkan kabel dan menghubungkan ujung kabel dengan menjepit masing-masing elektroda dengan penjepit yang terdapat pada kabel dan sisi lainnya dipasang pada alat *resistivitymeter* seperti gambar 3.4 berikut.

3.3.2. Pengolahan Data

1. Setelah melakukan akuisisi data lapangan maka selanjutnya melakukan pengolahan data pada Software *Ms. Office Excel* untuk konfigurasi *Schlumberger*

Berikut merupakan data yang diolah dengan *Ms. Office Excel* :

a. Membuat tabel di *Ms. Office Excel* seperti pada tabel 3.3 berikut:

Tabel 3.3 : pengolahan data dengan *Software M.s Office excel*.

AB/2 (m)	MN/2 (m)	MN (m)	K (m)	V(mv)		I(ma)		ρ (Ω m)
				1	2	1	2	

b. Menginput nilai AB/2, nilai MN/2, MN ,nilai I (mA), nilai V (mV) yang terdapat pada kolom perangkat lunak *Ms. Office Excel*.

c. Menghitung nilai k dan ρ menggunakan persamaan untuk menentukan faktor geometri (k) dan persamaan untuk menentukan nilai resistivitas (ρ).

2. Pengolahan data dengan *software IP2WIN*

a. Membuka perangkat *software IP2WIN*

- b. Memilih *make new ves point* sehingga muncul lembar baru pengolahan.
- c. Memilih jenis konfigurasi *schlumberger* selanjutnya mengklik OK.
- d. Melakukan *copy* dan memindahkan (*paste*) data dari *Ms. Office excel* ke *IP2WIN* sesuai kolom yang ada pada *software IP2WIN*.
- e. Mengklik OK kemudian menyimpan data sehingga akan muncul grafik berupa titik yang menunjukkan nilai resistivitas.
- f. Mengatur nilai persen *error*-nya sampai berkurang namun tidak berubah grafik nilai yang terlalu jauh.
- g. Selanjutnya melakukan interpretasi hasil grafik yang muncul dengan persen nilai yang kecil.

3. Pengolahan data konfigurasi *Wenner*

- a. Membuat tabel di *Ms. Office Excel* seperti pada tabel 3.4 berikut:

Tabel 3.4: pengolahan data dengan *Software M.s Office excel*.

AB (m)	MN (m)	K (m)	V (mv)		I (ma)		ρ (Ω m)
			1	2	1	2	

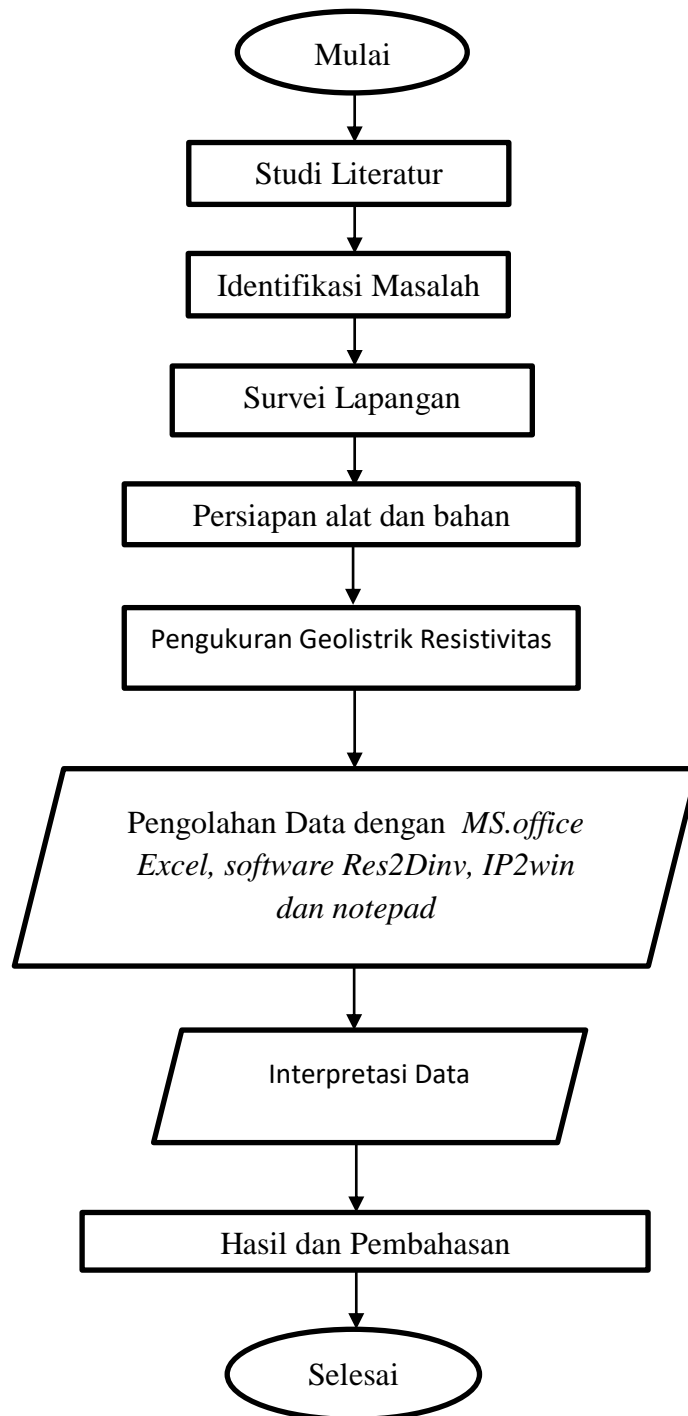
- b. Menginput data berupa jarak spasi elektroda dan nilai resistivitas kedalam program *notepad*, dengan menginput nama lintasan, jarak

elektroda, kode jenis konfigurasi, jumlah datum point, posisi datum pertama, dan masukkan 0 untuk resistivitas serta ketik 0 diakhir input data.

- c. Setelah menginput data di program *notepad*, kemudian *save* data (misalkan nama filenya: *wenner line .dat*)
- d. Selanjutnya keluar dari *notepad*.
- e. Membuka program Res2Dinv, kemudian membuka file untuk membaca data yang disimpan dalam program *notepad* (*wenner line.dat*) kemudian memilih menu *inverse*, lalu pilih *least-square inversion*. Untuk mengedit data pilih menu lalu *extermine datum point*.

3.4 Bagan Alir

Bagan alir pada penelitian ini adalah sebagai berikut:



BAB IV

HASIL DAN PEMBAHASAN

4.1 Kondisi Umum Lokasi Penelitian

Lokasi penelitian secara administratif terletak di desa Tasiwalie Kecamatan Suppa Kabupaten Pinrang Provinsi Sulawesi Selatan. Secara geografis daerah ini terletak pada koordinat $03^{\circ}19'13''$ LS hingga $4^{\circ}10'30''$ LS dan $119^{\circ}26'30''$ BT hingga $119^{\circ}26'30''$ BT. Lokasi penelitian berada di tepi pantai, penelitian ini terdiri atas 2 lintasan dengan masing-masing lintasan dilakukan pengukuran dengan konfigurasi *Wenner* dan konfigurasi *Schlumberger*.

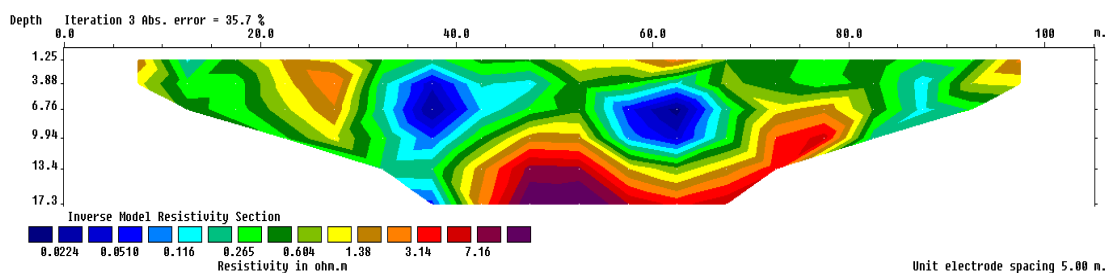
Pada penelitian ini dilakukan dengan mengukur arus (I) dan tegangan (V) dengan metode geolistrik resistivitas konfigurasi *Wenner* dan konfigurasi *Schlumberger*. Pada penelitian ini digunakan konfigurasi *Wenner* yang memiliki kemampuan mendeteksi sebaran mineral yang baik dan konfigurasi *Schlumberger* yang memiliki kemampuan mendeteksi mineral dengan jangkauan cukup dalam. Pengukuran dilakukan sebanyak 2 lintasan dengan masing-masing lintasan menggunakan dua konfigurasi yakni konfigurasi *Wenner* dan konfigurasi *Schlumberger*. Data hasil pengukuran di lapangan diinversi dengan menggunakan software *Res2dinv* dengan output penampang 2D untuk pengukuran konfigurasi *wenner* dan software *IP2WIN* dengan output penampang 1D untuk pengukuran konfigurasi *schlumberger*, hasil inversi akan memberikan informasi mengenai distribusi nilai resistivitas batuan di bawah permukaan pada lokasi penelitian.

4.2 Sebaran Mineral

Akuisis data lapangan dilakukan sebanyak 2 lintasan dimana setiap lintasan menggunakan konfigurasi *Wenner* dan konfigurasi *Schlumberger*. Berikut merupakan hasil inversi data yang dihasilkan dari akuisisi dat lapangan:

4.2.1 Lintasan 1 (Konfigurasi *wenner*)

Lintasan 1 terletak pada koordinat $03^{\circ}58'41''$ hingga $03^{\circ}58'44,7''$ LS dan $119^{\circ}34'38,7''$ BT hingga $119^{\circ}34'37,8''$ BT dengan spasi elektroda 5 m dengan Panjang lintasan 105 m pada pengukur dengan konfigurasi *Wenner* kedalaman maksimal yang terukur adalah 17,5 m sedangkan nilai resistivitas berada pada rentang $0,02 \Omega\text{m}$ hingga $7,16 \Omega\text{m}$ hasil pengukuran di lapangan diolah dengan *software Res2dinv* untuk mendapatkan penampang resistivitas dalam 2D, seperti gambar 4.1 berikut:



Gambar 4.1: Penampang semu dan penampang resistivitas 2D.

Gambar 4.1 merupakan gambar hasil inversi *software Res2dinv*. Dari penampang tersebut dapat diketahui beberapa mineral di daerah penelitian dengan mengukur nilai resistivitasnya seperti yang ditampilkan pada Gambar 4.1 Sebaran mineral dapat dilihat pada table 4.1 berikut.

Tabel 4.1: Nilai resistivitas *wenner*

No	Nilai Resistivitas (Ωm)	Jenis Material	Kedalaman (m)
1.	0,0224-0,0510	Magnetit	3,08-9,94
2.	0,116-0,604	Ilmenit	1,25-17,3
3.	1,38-3,14	Lempung	1,25-13,3
4.	7,16	Lanau	9,94-17,3

Sumber :Data primer,2019

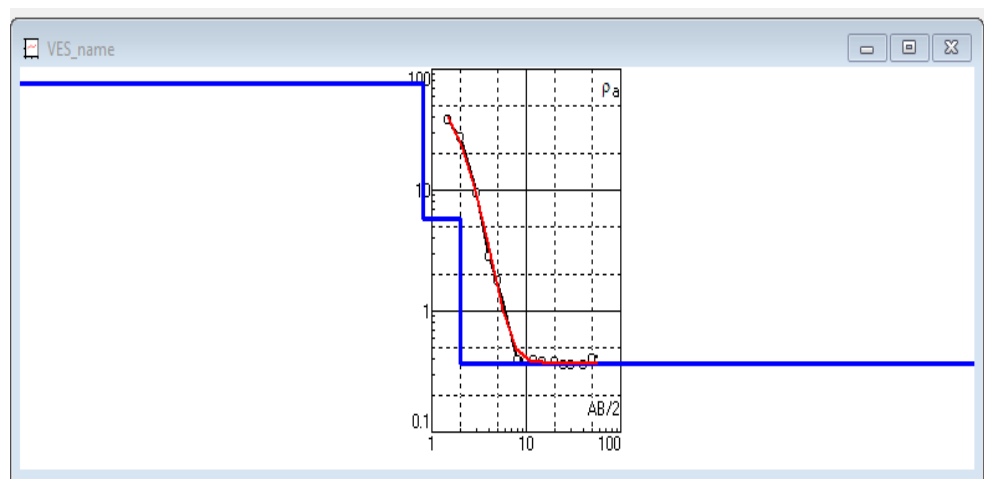
Berdasarkan tabel 4.1 di atas terlihat bahwa pada lintasan pertama diperoleh nilai resistivitas 0,0224 Ωm -0,054 Ωm diduga adalah magnetit hal ini sesuai dengan nilai resistivitas menurut Tellford (1990) dimana rentang nilai resistivitas untuk magnetit adalah $5 \times 10^{-5} \Omega m - 5,7 \times 10^3 \Omega m$ nilai resistivitas yang diperoleh relatif rendah hal ini diakibatkan material magnetit memiliki konduktivitas yang tinggi sehingga mudah menghantarkan arus listrik, material ini tersebar pada kedalaman 1,25 m hingga kedalaman 17,3 m, pada jarak elektroda 35 m hingga 42 m dan 56 m hingga 65 m pada lintasan ini juga didapat nilai resistivitas 0,116 $\Omega m - 0,604 \Omega m$ diduga adalah ilmenit hal ini sesuai dengan nilai resistivitas menurut Tellford (1990) dimana rentang nilai resistivitas untuk ilmenit adalah $10^{-3} \Omega m$,- 50 Ωm nilai resistivitas yang diperoleh pada lokasi penelitian cukup rendah hal ini dapat disebabkan oleh material ilmenit memiliki konduktivitas yang baik, ilmenit tersebar pada kedalaman 1,25 m hingga kedalaman 17,3 m secara spesifik terdapat pada jarak elektroda 10 m hingga 95

m, pada lintasan 1 juga diperoleh nilai resistivitas $1,38 \Omega m - 3,14 \Omega m$ yang diduga adalah lempung dimana menurut Telford (1990) lempung memiliki nilai resistivitas $1 \Omega m - 100 \Omega m$ selain itu juga diperoleh nilai resistivitas $7,16 \Omega m$ yang diduga merupakan lanau dengan nilai resistivitas menurut Telford (1990) memiliki resistivitas $10^{-3} \Omega m, - 50 \Omega m$

4.2.2 Lintasan 1 (Konfigurasi *Schlumberger*)

Selain melakukan pengukuran dengan konfigurasi *wenner* pada lintasan 1 juga dilakukan pengukuran dengan konfigurasi *Schlumberger* dengan panjang lintasan 120 m dan Lokasi pengukuran berada pada koordinat $03^{\circ}58'43,2''$ LS dan $119^{\circ}34'38,3$ BT".

Variabel yang terukur secara langsung pada resistivimeter yaitu nilai arus (I) yang telah diinjeksikan ke bawah permukaan dan tegangan (V). Hasil data yang diperoleh dari pengukuran dengan metode tahanan jenis konfigurasi *schlumberger* dengan pengolahan data menggunakan software *IP2win* dengan hasil inversi sebagai berikut



(a)

N	ρ	h	d	Alt
1	76.6	0.799	0.799	-0.799
2	5.75	1.19	1.99	-1.988
3	0.363			

(b)

Gambar 4.2 (a) Grafik resistivitas; (b) Nilai resistivitas kedalaman titik

Keterangan:

°	titik data pengukuran	ρ	= Nilai Resistivitas (Ωm)
—	kurva data pengukuran	h	= Ketebalan (m)
—	kurva resistivitas	d	= Kedalaman (m)
—	kurva lapisan batuan	Alt	= Kedalaman (m)

Tabel 4.2 : Nilai resistivitas *schlumberger*

No.	Nilai Resistivitas (Ωm)	Ketebalan (m)	Kedalaman(m)	Jenis Material
1.	76,6	0,799	0,799	Kuarsit
2.	5,75	1,19	1,99	Lanau
3.	0,363	∞	∞	Iluminet

Sumber : Data primer, 2019

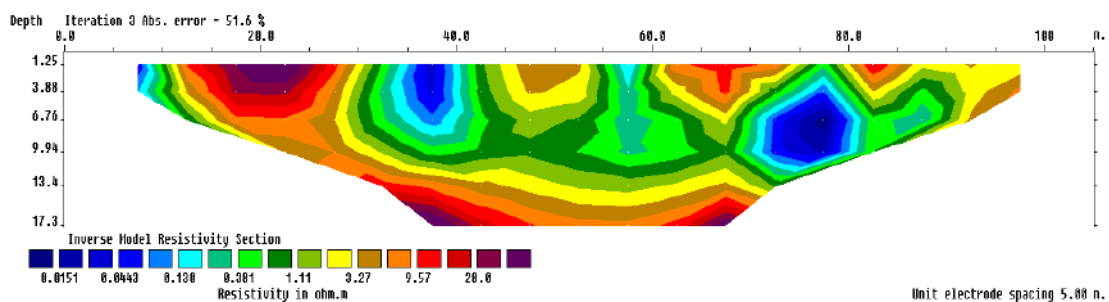
Berdasarkan tabel 4.2 di atas dapat dilihat bahwa didapatkan hasil pengukuran dengan konfigurasi *Schlumberger* teridentifikasi 3 lapisan, dimana pada lapisan 1 memiliki nilai resistivitas $76,6 \Omega m$ pada kedalaman $0,799 m$

dengan ketebalan 0,799 m, pada lapisan 2 dengan nilai resistivitas $5,75 \Omega m$ pada kedalaman 1,19 m dengan ketebalan 1,99 m, dan pada lapisan 3 dengan nilai resistivitas $0,363 \Omega m$ pada kedalaman dan ketebalan yang tidak diketahui disebabkan ketidak mampuan alat melakukan pembacaan. Pada lapisan 1 diduga adalah material kuarsit hal ini sesuai dengan nilai resistivitas menurut Telford (1990) dimana rentang nilai resistivitas untuk kuarsit adalah $10 \Omega m - 2 \times 10^8 \Omega m$ nilai resistivitas yang didapatkan cukup tinggi hal ini disebabkan oleh kandungan kuarsa yang merupakan mineral penyusun kuarsit dimana kuarsa memiliki sifat semikonduktor, pada lapisan 2 diduga adalah lanau yang menurut Telford (1990) memiliki rentang nilai resistivitas $5,6 \Omega m - 10^8 \Omega m$ lanau terbentuk dari pecahan kristal kuarsa dimana kuarsa memiliki sifat semikonduktor sedangkan pada lapisan 3 diduga adalah ilmenit yang menurut Telford (1990) memiliki rentang nilai resistivitas $10^{-3} \Omega m - 50 \Omega m$ nilai resistivitas yang didapat relatif kecil karena material ilmenit memiliki sifat konduktivitas yang tinggi sehingga mudah menghantarkan arus listrik.

Material kuarsit tidak teridentifikasi pada hasil inversi konfigurasi *wenner* meskipun, pada lapisan 1 hasil inversi konfigurasi *Schlumberger* diduga adalah kuarsit hal ini disebabkan material kuarsit teridentifikasi pada kedalaman lebih dari 0,856 m sedangkan pada konfigurasi *Wenner* mengidentifikasi material dari kedalaman 1,25 m hingga 17,3 m.

4.2.3 Lintasan 2 (Konfigurasi Wenner)

Lintasan 2 terletak pada koordinat $03^{\circ}58'40,3''$ hingga $03^{\circ}58'36,9''$ LS dan $119^{\circ}34'37,5''$ BT hingga $119^{\circ}34'36,6''$ BT dengan spasi elektroda 5 m dengan Panjang lintasan 105 m pada pengukuran dengan konfigurasi *Wenner*, kedalaman maksimal yang terukur adalah 17,5 m sedangkan nilai resistivitas berada pada rentang $0,01 \Omega\text{m}$ hingga $28,0 \Omega\text{m}$ hasil pengukuran di lapangan diolah dengan software *Res2dinv* untuk mendapatkan penampang semu dan penampang resistivitas dalam 2D, seperti Gambar 4.3 dibawah ini:



Gambar 4.3: Penampang semu dan penampang resistivitas 2D.

Gambar 4.3 merupakan gambar hasil inversi software *Res2dinv*, dari penampang tersebut dapat diketahui mineral di daerah penelitian dengan mengukur nilai resistivitasnya berdasarkan Gambar 4.3 Sebaran mineral dapat dilihat pada table berikut

Tabel 4.3: Nilai resistivitas wenner

No	Nilai Resistivitas (Ωm)	Jenis Material	Kedalaman (m)
1.	0,0151-0,0443	Magnetit	1,25-9,94
2.	0,131-0,381	Ilmenit	1,25-17,30
3.	1,11-3,27	Lempung	1,25-17,00

4.	9,57	Lanau	1,25-17,300
5.	28,0	Kuarsit	1,25-17,3

Sumber :Data primer,2019

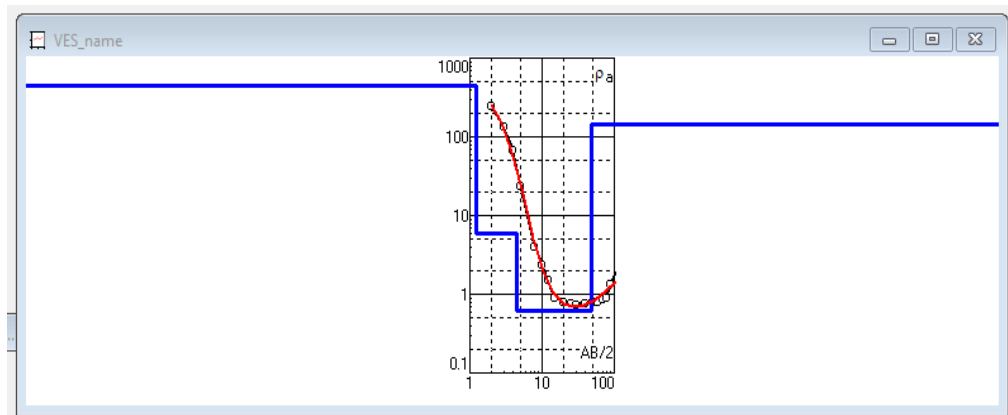
Berdasarkan table 4.3 terlihat bahwa pada lintasan diperoleh nilai resistivitas sebesar $0,0151 \Omega m - 0,0443 \Omega m$ diduga adalah magnetit sesuai dengan nilai resistivitas menurut Telford (1990) dimana rentang nilai resistivitas untuk magnetit adalah $5 \times 10^{-5} \Omega m - 5,7 \times 10^3 \Omega m$ nilai resistivitas yang diperoleh sangat kecil karena material magnetit memiliki sifat konduktivitas yang tinggi sehingga mudah menghantarkan arus listrik, secara spesifik magnetit tersebar pada kedalaman 1,25 m – 6,00 m dengan jarak elektroda 35 m – 40 m, pada jarak elektroda 72 m – 79 m dengan kedalaman 4,00 m – 9,97 m, juga diperoleh nilai resistivitas $0,130 \Omega m - 0,381 \Omega m$ diduga adalah ilmenit hal ini sesuai dengan nilai resistivitas menurut Telford (1990) dimana rentang nilai resistivitas untuk ilmenit adalah $10^{-3} \Omega m - 50 \Omega m$, nilai resistivitas yang diperoleh pada lokasi penelitian cukup rendah hal ini dapat disebabkan oleh sifat konduktivitas ilmenit yang baik, ilmenit secara spesifik terdapat pada kedalaman 1,25 m – 9,94 m dengan jarak elektroda 36 m – 43 m, pada jarak elektroda 47 m – 62 m dengan kedalaman 1,25 m – 13,00 m dan pada jarak elektroda 70 m – 99 m dengan kedalaman 1,28 m – 113,40 m, pada lintasan ini juga diperoleh nilai resistivitas $1,11 \Omega m - 3,27 \Omega m$ yang tersebar pada kedalaman 1,25 m – 17,00 m dengan jarak elektroda 25 m – 97 m, pada lintasan ini juga diperoleh nilai resistivitas $9,57 \Omega m$ yang diduga merupakan lanau yang menurut Telford (1990) memiliki rentang nilai resistivitas $5,6 \Omega m - 10^8 \Omega m$ lanau dapat dikategorikan sebagai

bahan semikonduktor dikarenakan lanau terbentuk dari pecahan kristal kuarsa dimana kuarsa sendiri merupakan bahan semikonduktor yang tersebar pada kedalaman 1,25 m – 17,30 m dengan jarak elektroda 12 m – 70 m, pada jarak elektroda 61 m – 74 m dengan kedalaman 1,25 m – 8,00 m dan pada jarak elektroda 81 m – 85 m dengan kedalaman 1,25 m – 3,80 m selain itu juga didapat nilai resistivitas $28,0 \Omega m$ diduga adalah kuarsit sesuai dengan nilai resistivitas menurut Telford (1990) dimana rentang nilai resistivitas untuk kuarsit adalah $10 \Omega m - 2 \times 10^8 \Omega m$ meskipun nilai resistivitas kuarsit cukup bervariasi namun nilai resistivitas yang didapatkan cukup rendah hal ini dapat disebabkan oleh material penyusun kuarsit yang memiliki konduktivitas yang baik, kuarsit tersebar pada kedalaman 1,25 m – 4,70 m dengan jarak elektroda 14 m – 22 m, pada kedalaman 13,4 m – 17,3 m dengan jarak elektroda 33 m – 43 m dan pada kedalaman 15,5 m – 17,3 m dengan jarak elektroda 64 m – 69 m.

4.2.4 Lintasan 2 (Konfigurasi *Schlumberger*)

Lintasan 2 pengukuran dengan konfigurasi *Schlumberger* dengan panjang lintasan 180 m dengan Lokasi pengukuran berada pada koordinat $03^{\circ}58'38,44''$ LS dan $119^{\circ}34'37,8$ BT”.

Hasil data yang telah diperoleh dari pengukuran dengan metode tahanan jenis konfigurasi *schlumberger* dengan pengolahan data menggunakan software *IP2win* dengan hasil inversi dapat dilihat pada Gambar 4.4 berikut:



(a)

N	ρ	h	d	Alt
1	440	1.22	1.22	-1.218
2	5.98	3.31	4.53	-4.529
3	0.616	43	47.5	-47.54
4	145			

(b)

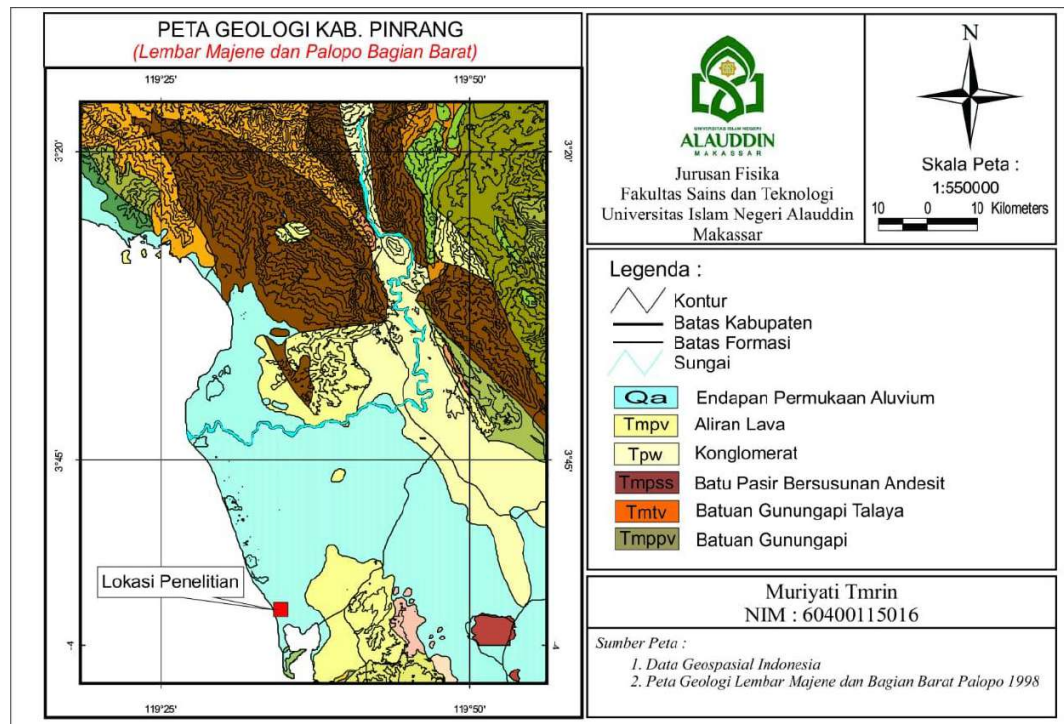
Gambar 4.4 (a) Grafik resistivitas; (b) Nilai resistivitas kedalaman titik

Tabel 4.4: Nilai Resistivitas Schlumberger

No	Nilai Resistivitas (Ωm)	Ketebalan (m)	Kedalaman(m)	Hasil Interpretasi data
1.	440	1,22	1,22	Kuarsit
2.	5,98	3,31	4,53	Lanau
3.	0,616	43	47,5	Ilmenit
4.	145	∞	∞	Kuarsit

Sumber :Data primer,2019

Berdasarkan table 4.4 dapat dilihat bahwa jumlah lapisan yang terbaca adalah 4 lapisan dimana pada lapisan 1 memiliki nilai resistivitas $440 \Omega m$ pada kedalaman 1,22 m dengan ketebalan 1,22 m, pada lapisan 2 dengan nilai resistivitas $5,98 \Omega m$ pada kedalaman 3,31 m dengan ketebalan 4,53 m, pada lapisan 3 dengan nilai resistivitas $0,616 \Omega m$ pada kedalaman 43 dan ketebalan 47,5 pada lapisan 4 dengan nilai resistivitas 145 pada kedalaman dan ketebalan yang tidak diketahui disebabkan ketidak mampuan alat melakukan pembacaan. Pada lapisan 1 dan 4 diduga adalah material kuarsit hal ini sesuai dengan nilai resistivitas menurut Telford (1990) dimana rentang nilai resistivitas untuk kuarsit adalah $10 \Omega m - 2 \times 10^8 \Omega m$ nilai resistivitas yang didapatkan cukup tinggi hal ini dipengaruhi oleh sifat konduktivitas dari penyusun utama kuarsit yakni kuarsa dimana kuarsa memiliki sifat semikonduktor, pada lapisan 2 diduga adalah lanau yang menurut Telford (1990) memiliki rentang nilai resistivitas $5,6 \Omega m - 10^8 \Omega m$, nilai resistivitas yang didapat dipengaruhi oleh penyusun lanau yang memiliki sifat semikonduktor yakni kristal kuarsa, sedangkan pada lapisan 3 diduga adalah ilmenit yang menurut Telford (1990) memiliki rentang nilai resistivitas $10^{-3} \Omega m - 50 \Omega m$ nilai resistivitas ilmenit cukup rendah akibat ilmenit merupakan material dengan konduktivitas yang tinggi .



Gambar 4.5 Peta geologi lokasi penelitian

Berdasarkan hasil interpretasi data lapangan material yang teridentifikasi pada area penelitian diduga adalah kuarsit, lanau, ilmenite, lempung dan magnetit. Berdasarkan kondisi geologi daerah penelitian yang diketahui melalui peta geologi lembar Majene dan Palopo bagian barat yang dipetakan oleh Djuri dan Sudjtmiko (1974), daerah penelitian didominasi oleh endapan alluvial yang terdiri dari lempung, lanau pasir dan kerikil, Lempung mengandung leburan silika dan alumunium sedangkan lanau biasanya terbentuk dari pecahan kristal kuarsa yang juga tersusun dari silika, kedua mineral ini memiliki kandungan silika yang merupakan salah satu penyusun pasir kuarsa namun silika terus mengalami metamorfosa akibat panas, tekanan dan aktivitas kimia sehingga membentuk

kuarsit dimana kuarsit merupakan jenis batuan metamorf yang kaya akan mineral kuarsa, kuarsit umumnya terbentuk dari batu pasir kuarsa.

Selain melalui peta geologi di area yang sama juga telah dilakukan penelitian yang bertujuan untuk mengetahui karakteristik pasir kuarsa di pantai Lowita dengan metode *X-Ray Diffraction* oleh Nurhaerani (2019) yang kemudian didapat hasil karakterisasi pada sampel A dengan kandungan silikon dioksida sebesar 79,00% pada sampel B kandungan silikon dioksida sebesar 65,10% dan magnetit sebesar 16,80%, pada sampel C kandungan silikon dioksida sebesar 68,00%, hal ini memperkuat hasil interpretasi yang telah didapatkan.

BAB V

PENUTUP

5.1 Kesimpulan

Dari hasil pengolahan data penelitian yang telah dilakukan maka dapat disimpulkan bahwa:

- 1) Material yang teridentifikasi pada pengukuran dengan metode geolistrik *resistivitas* dipantai Lowita kabupaten pinrang diduga adalah kuarsit, magnetit, ilmenite, lempung, lanau dan kuarsit.
- 2) Di pantai Lowita teridentifikasi memiliki potensi kuarsit yang tersebar pada lintasan 1 dengan kedalaman 0,799 meter dan ketebalan 0,799 meter menggunakan konfigurasi *Schlumberger* di koordinat 03°58'43,2" LS dan 119°34'38,3" BT, pada lintasan 2 juga teridentifikasi sebaran pasir kuarsit dengan kedalaman 1,25-6,55 meter dan 13,4-17,3 meter dengan konfigurasi *Wenner* sedangkan dengan pengukuran konfigurasi *Schlumberger* teridentifikasi pada lapisan 1 dan 4 dimana pada lapisan 1 teridentifikasi pada kedalaman 1,22 meter dan ketebalan 1,22 meter sedangkan pada lapisan 4 teridentifikasi pada kedalaman yang tak berhingga dengan titik koordinat 03°58'38,44" LS dan 119°34'37,8" BT.

5.2 Saran

Untuk penelitian selanjutnya sebaiknya melakukan metode geofisika yang lain seperti metode magnetik, metode GPR (*Ground Penetrating Radar*), metode gravity ataupun dengan metode seismik yang dapat menjangkau lapisan yang lebih dalam

DAFTAR PUSTAKA

- Alimin, Maryono, dkk. *Analisa Kandungan Mineral Pasir Pantai Losari Kota Makassar Menggunakan XRF Dan XRD*. Jurnal Chemica Vol.17 Desember 2016, 19-23.
- Al-Mahally, Imam Jalaluddin dan As-syutt. *Tafsir Jalalain Berikut Asbabun Nuzulnya*. Jilid IV. Bandung Sinar: Baru, 1990.
- Andrias Sangra Wijaya. *Aplikasi Metode Geolistrik Resistivitas Konfigurasi Wenner Untuk Menentukan Struktur Tanah di Halaman Belakang SCC ITS Surabaya*. Jurnal Fisika Indonesia No: 55 (2015), Vol XIX, Edisi Mei 2015 ISSN : 1410-2994
- Bahri. *Hand Out Mata Kuliah Geofisika Lingkungan dengan Topik Metode Geolistrik Resistivitas*. FMIPA ITS. Surabaya. 2005.
- BPS kab. *Pinrang Kabupaten Pinrang Dalam Angka*. BPS kab. Pinrang: Pinrang. 2008.
- Clark,G.L. *Encyclopedia of Chemistry*. Reinhold Publishing Corporation: New York. 1960.
- Djuri,Sudjatmiko.*Geologi Lembar Majene dan Bagian Barat Palopo*. Pusat penelitian dan pengembangan geologi. Bandung.1974.
- Fairus,S.,Haryono, dkk. *Proses Pembuatan Waterglass Dari Pasir Silika Dengan Pelebur Natrium Hidroksida*. Jurnal Teknik Kimia Indonesia 8(2009) : 56-62
- Hendrajaya, Lilik, dkk. *Geolistrik Tahanan Jenis*. Institut Teknologi Bandung: Bandung. 1990,
- Iman Ibnu Katsir, Tafsir al-Qur'an al-Azhim, Op.Cit, Vol.IV, hal 568
- M.B. Dobrin. *Introduction to Geophysical Prospecting*. McGraw-Hill :New York. 1981.
- Northon, T. H. *Elemen of Ceramics*. Reading : Addison-Wesley Publishing Company. 1974.
- Nurhaerani. *Karakterisasi Pasir Kuars di Pantai Lowita Kabupaten Pinrang Dengan Metode X-Ray Diffraction (XRD)*. Fakultas sains dan teknologi-UINAM:Makassar.2019.
- Pitriani, P. *Sintesis dan Aplikasi Kitosan dari Cangkrang Rajungan (Portunus Pelagicus) Sebagai Penyerap Ion Besi (Fe) dan Ion Mangan (Mn) Untk Pemurnia Natrium Silikat Skripsi*. Skripsi. Jurusan Kimia. Universitas Islam Negeri Syarif Hidayatullah Jakarta. Jakarta. 2010.
- Rais Tutu, Subaer, dkk. *Studi Analisis Karakterisasi dan Mikrostruktur Mineral Sedimen Sumber Air Panas Sulili di Kabupaten Pinrang*. Jurnal Sains dan Pendidikan Fisika. Jilid 11. No 2, Agustus 2015, hal 192-201

- Sakka. *Metode geolistrik tahanan jenis*. Fakultas matematika dan ilmu pengetahuan Alam-UNHAS:Makassar. 2002.
- Sudaryo. Broto dkk. *Pengolahan Data Geolistrik dengan metode schlumberger*. Vol.9 No 2 (2008). ITB: Bandung.
- Sukamti. *Peta geologi Sulawesi lembar VII ujung pandang*. Geological seurvei of Indonesia:1975.
- Sulistryono, E Sumantri, S & Djusman, S. *Kajian Proses Pembentukan Silika Dan Pengendapan Silika*. Pusat Penelitian Metulargi 7 Sepembe 2004:397-402
- Telford, WM. *Applied Geophysics Second Edition*. Cambridge University. 1990.
- Todd, D.K. *Groundwater Hidrology Second Edition*. New york:John Wiley &Son,Inc. 2013 .
- Uci Karisma. *Pola Distribusi Resistivitas Bawah Permukaan Situs Megalitikum dengan Metode Geolistrik ReS3D di Kecamatan Gerujungan Kabupaten Bondowoso*. Skripsi. Jawa Timur, Universitas Jember,2013.
- Utama, W. *Eksperimental Module Mataram Geophysical workshop*. ITS: Surabaya. 2005.
- Utiya, Jefriunto. *metode geolistrik resistifitas konfigurasi wenner schlumberger dan konfigurasi dipole-dipole untuk identifikasi patahan manado di kecamatan paaldua kota manado*. Jurnal ilmiah sains vol. 15 no. 2, oktober 2015.
- Wijaya. *Aplikasi Metode Geolistik Resistivitas konfigurasi Wenner Untuk menentukan Strukhur Tanah di Halaman Belakang SCC ITS Surabaya*. Jurnal Fisika Indonesia No 55 (2015), Vol XIX, 1410-2994
- Wuryantoro. *Aplikasi Metode Geolistrik Tahanan Jenis untuk Menentukan Letak dan Kedalaman Aquifer Air Tanah Semarang*. Skripsi. Universitas Negeri Semarang. 2007.



RIWAYAT HIDUP

MURIYATI TAMRIN lebih akrab disapa “muri” dilahirkan dipinrang tanggal 26 mei 1998 anak dari pasangan Drs. Tamrin (Alm) dan Dra. Murni penulis memulai pendidikan formal pada usia 4 tahun di TK SATU ATAP HANDAYANI di desa masolo pada tahun 2003 dan melanjutkan kejenjang sekolah dasar pada tahun 2005 di SDN 128 Patampanua dan lulus pada tahun 2009, ditahun yang sama penulis melanjutkan pendidikan di SMPN 1 Patampanua. Penulis menyelesaikan pendidikan selama 3 tahun dan dinyatakan lulus pada tahun 2012. Ditahun yang sama pula penulis melanjutkan pendidikan di SMKN 1 Pinrang dengan mengambil jurusan Akutansi namun pada tahun 2014 penulis memutuskan untuk pindah di MA DDI Kaballangang dan dinyatakan lulus pada tahun 2015, tahun 2015 penulis mendaftarkan diri dan diterima sebagai mahasiswa jurusan Fisika Fakultas Sains dan Teknologi Universitas Islam Negeri Alauddin Makassar (UINAM), selama menjadi mahasiswa penulis pernah melibatkan diri pada organisasi Himpunan Mahasiswa Jurusan (HMJ) Fisika sebagai anggota divisi media dan publikasi.

LAMPIRAN 1
(Data Hasil Pengukuran di Lapangan)

DATA SURVEI METODE GEOLISTRIK KONFIGURASI *SCHLUMBERGER*

No lintasan : 1
 Hari/Tanggal : Sabtu, 4 April 2019
 Peneliti : Muriyati Tamrin
 Koordinat : 03°58'43,2" LS dan 119°34'38,3 BT"
 Cuaca : Cerah
 Tempat : Desa tasiwalie, Kac. Suppa Kab. Pinrang

No.	n	AB/2 (m)	MN/2 (m)	MN (m)	K	I ₁ (mA)	I ₂ (mA)	I (mA)	V ₁ (mV)	V ₂ (mV)	V (mV)	ρ _{rata-rata} (Ωm)
1	n1	1.5	0.25	0.5	13.7375	125.5	125.5	125.5	346.5	342.3	344.4	37.69876494
2	n1	2	0.25	0.5	24.7275	123.5	123.4	123.45	135.5	133.5	134.5	26.94085662
3	n1	3	0.25	0.5	56.1275	127.6	127.6	127.6	23.9	19	21.45	9.435226293
4	n2	4	0.5	1	49.455	126.1	126.2	126.15	6	7.9	6.95	2.724631391
5	n2	5	0.5	1	77.715	127.8	127.8	127.8	3.21	3.1	3.155	1.918551056
6	n2	8	0.5	1	200.175	128.7	128.6	128.65	0.4	0.1	0.25	0.38899145
7	n2	10	0.5	1	313.215	127.7	127.7	127.7	0.8	0.1	0.45	1.103733359
8	n3	12	2	4	109.9	127.2	127.1	127.15	4.9	2.4	3.65	3.154817145
9	n3	15	2	4	173.485	126	126	126	0.9	0.7	0.8	1.101492063
10	n3	20	2	4	310.86	126.8	126.8	126.8	0.3	0.4	0.35	0.85805205
11	n3	25	2	4	487.485	128.9	128.7	128.8	0.3	0.2	0.25	0.946205357
12	n4	30	8	16	164.065	126	126	126	2.1	2.5	2.3	2.994837302
13	n4	40	8	16	301.44	128	128	128	0.2	0.1	0.15	0.35325
14	n4	50	8	16	478.065	124.4	124.4	124.4	0.7	0.4	0.55	2.113631431

Sumber : Dokumen pribadi, hasil survey lapangan di Pantai Lowita Kab. Pinrang

No lintasan : 2
 Hari/Tanggal : Sabtu, 4 April 2019
 Peneliti : Muriyati Tamrin
 Koordinat : 03°58'38,44" LS dan 119°34'37,8 BT",
 Cuaca : Cerah
 Tempat : Desa tasiwalie, Kac. Suppa Kab. Pinrang.

No.	n	AB/2 (m)	MN/2 (m)	MN (m)	K	I ₁ (mA)	I ₂ (mA)	I (mA)	V ₁ (mV)	V ₂ (mV)	V (mV)	ρ _{rata-rata} (Ωm)
1	n1	2	0.25	0.5	24.7275	22.43	22.43	22.43	221	216.5	218.75	241.1565147
2	n1	3	0.25	0.5	56.1275	53.8	50.8	52.3	126.9	119.2	123.05	132.0552366
3	n2	4	0.5	1	49.455	95.9	93.3	94.6	129.4	123.2	126.3	66.02713002
4	n2	5	0.5	1	77.715	74.9	74.9	74.9	23	22.7	22.85	23.70878171
5	n2	8	0.5	1	200.175	74.2	73.8	74	1.1	1.1	1.1	2.975574324
6	n2	10	0.5	1	313.215	82.7	79.7	81.2	1.7	1	1.35	5.207392241
7	n3	12	2	4	109.9	44.7	43.8	44.25	1.4	0.8	1.1	2.731977401
8	n3	15	2	4	173.485	49.8	48.6	49.2	0.2	0.3	0.25	0.881529472
9	n3	20	2	4	310.86	79.7	76.9	78.3	0.1	0.1	0.1	0.397011494
10	n3	25	2	4	487.485	57.2	55.3	56.25	0.7	0.3	0.5	4.3332
11	n4	30	8	16	164.065	42.5	41.2	41.85	1.5	0.9	1.2	4.70437276
12	n4	40	8	16	301.44	119	115.7	117.35	0.7	0.2	0.45	1.155926715
13	n4	50	8	16	478.065	74.9	72.5	73.7	0.2	0.3	0.25	1.621658752
14	n5	60	12	24	452.16	64	62.1	63.05	0.2	0.5	0.35	2.51000793
15	n5	70	12	24	622.2433	73.3	69.6	71.45	0.2	0.2	0.2	1.741758806
16	n5	80	12	24	818.4933	63.3	61.6	62.45	0.1	0.1	0.1	1.310637844
17	n6	90	16	32	769.6925	58.3	57.9	58.1	1	1	1	13.24771945

Sumber :Dokumen pribadi, hasil survey lapangan di Pantai Lowita Kab. Pinrang

Keterangan:

AB = Jarak elektroda arus ke pusat susunan elektroda (m)

MN = Jarak elektroda potensial ke pusat susunan elektroda (m)

K = Faktor geometri konfigurasi Schlumberger (m)

I = Arus yang diinjeksikan ke bawah permukaan (mA)

V = Tegangan di bawah permukaan (mV)

ρ = Resistivitas semu (Ωm)

DATA SURVEI METODE GEOLISTRIK KONFIGURASI *wenner*

No lintasan : 1
 Hari/Tanggal : Sabtu, 4 April 2019
 Peneliti : Muriyati Tamrin
 Koordinat : 03°58'43,2" LS dan 119°34'38,3 BT"
 Cuaca : Cerah
 Tempat : Desa tasiwalie, Kac. Suppa Kab. Pinrang

M	N	B	a level	k	I (mA)		I (mV)	V (mV)		V (mV)	ρ
					1	2		1	2		
5	10	15	5	31.4	124.4	124.5	124.45	3.9	3.9	3.9	0.98401
10	15	20	5	31.4	118.1	116.7	117.4	0.7	1	0.85	0.227342
15	20	25	5	31.4	127.7	127.7	127.7	11.4	10.8	11.1	2.729366
20	25	30	5	31.4	124.1	123.9	124	4.1	4.3	4.2	1.063548
25	30	35	5	31.4	118.9	118.4	118.65	2.8	2.2	2.5	0.66161
30	35	40	5	31.4	128.3	128.3	128.3	1.9	1.8	1.85	0.452767
35	40	45	5	31.4	126.1	126	126.05	2.7	5.8	4.25	1.058707
40	45	50	5	31.4	127.7	127.6	127.65	1	1.6	1.3	0.319781
45	50	55	5	31.4	128.5	128.5	128.5	5.4	4.3	4.85	1.185136
50	55	60	5	31.4	127.2	127.2	127.2	3	3.8	3.4	0.839308
55	60	65	5	31.4	128.3	128.2	128.25	1.5	1	1.25	0.306043
60	65	70	5	31.4	126.8	126.7	126.75	2.7	3	2.85	0.706036
65	70	75	5	31.4	127.4	127.4	127.4	2.7	1.8	2.25	0.554553
70	75	80	5	31.4	128.4	128.4	128.4	2.2	4.1	3.15	0.770327
75	80	85	5	31.4	126	125.9	125.95	0.7	1.2	0.95	0.23684
80	85	90	5	31.4	128	128.1	128.05	1.2	2.5	1.85	0.453651
85	90	95	5	31.4	125.8	125.7	125.75	1.6	1.9	1.75	0.436978
90	95	100	5	31.4	124.8	124.7	124.75	0.5	2.6	1.55	0.39014
95	100	105	5	31.4	128.3	128.3	128.3	2.7	5.2	3.95	0.966719
10	20	30	5	94.2	124.3	124.1	124.2	0.8	0.3	0.55	0.41715
15	25	35	5	94.2	127.6	127.6	127.6	0.2	0.3	0.25	0.184561
20	30	40	5	94.2	127.9	127.9	127.9	2.3	0.3	1.3	0.957467
25	35	45	5	94.2	127.9	127.9	127.9	0.3	0.6	0.45	0.331431

30	40	50	5	94.2	127.5	127.6	127.55	0.2	0.1	0.15	0.11078
35	45	55	5	94.2	126	128.4	127.2	1.4	0.5	0.95	0.703538
40	50	60	5	94.2	127.7	125.9	126.8	0.4	0.1	0.25	0.185726
45	55	65	5	94.2	126.9	127.7	127.3	0.5	0.3	0.4	0.295994
50	60	70	5	94.2	127.7	126.9	127.3	0.2	0.6	0.4	0.295994
55	65	75	5	94.2	128.7	127.7	128.2	0.5	0.5	0.5	0.367395
60	70	80	5	94.2	128.3	128.6	128.45	0.7	0.5	0.6	0.440016
65	75	85	5	94.2	127.7	128.3	128	0.4	0.4	0.4	0.294375
70	80	90	5	94.2	127.4	127.7	127.55	1.8	1.5	1.65	1.218581
75	85	95	5	94.2	125.2	124.9	125.05	1.2	0.5	0.85	0.640304
80	90	100	5	94.2	120.4	119.7	120.05	1.6	1.5	1.55	1.216243
85	95	105	5	94.2	128.1	128.1	128.1	0.4	0.4	0.4	0.294145
15	30	45	5	94.2	122.4	122.4	122.4	0.7	1.5	1.1	0.846569
20	35	50	5	188.4	126.7	126.6	126.65	0.3	0.4	0.35	0.520647
25	40	55	5	188.4	127.8	127.8	127.8	0.4	0.4	0.4	0.589671
30	45	60	5	188.4	127.8	127.8	127.8	0.1	0.1	0.1	0.147418
35	50	65	5	188.4	127.6	127.5	127.55	0.4	0.3	0.35	0.516974
40	55	70	5	188.4	126.4	126.4	126.4	0.5	0.2	0.35	0.521677
45	60	75	5	188.4	126.4	126.3	126.35	3.3	1.3	2.3	3.429521
50	65	80	5	188.4	128.3	128.3	128.3	0.5	0.5	0.5	0.734217
55	70	85	5	188.4	128.7	128.7	128.7	0.2	0.6	0.4	0.585548
60	75	90	5	188.4	127.6	127.5	127.55	0.3	0.5	0.4	0.590827
65	80	95	5	188.4	127.1	127.1	127.1	0.5	0.7	0.6	0.889378
70	85	100	5	188.4	127.5	127.5	127.5	0.6	0.5	0.55	0.812706
75	90	105	5	188.4	126.5	126.5	126.5	0.1	0.3	0.2	0.297866
20	40	60	5	188.4	124.8	124.6	124.7	0.1	0.1	0.1	0.151083
25	45	65	5	188.4	128.6	128.6	128.6	2.5	1	1.75	2.563764
30	50	70	5	188.4	124.5	124.4	124.45	0.1	0.3	0.2	0.302772
35	55	75	5	314	128.3	128.3	128.3	0.3	0.6	0.45	1.101325
40	60	80	5	314	128	128.1	128.05	0.5	0.2	0.35	0.858258
45	65	85	5	314	128	128.1	128.05	0.5	0.2	0.35	0.858258
50	70	90	5	314	126.3	126.2	126.25	0.4	0.2	0.3	0.746139
55	75	95	5	314	126.1	126	126.05	1.4	0.6	1	2.491075
60	80	100	5	314	127.7	127.6	127.65	0.5	0.4	0.45	1.106933
65	85	105	5	314	126.9	126.7	126.8	0.3	0.7	0.5	1.23817
25	50	75	5	314	125.7	125.4	125.55	0.7	0.1	0.4	1.000398
30	55	80	5	314	128.8	128.8	128.8	0.3	0.3	0.3	0.731366
35	60	85	5	314	128.1	128.1	128.1	1.5	0.4	0.95	2.328649
40	65	90	5	314	128	128	128	0.3	0.2	0.25	0.613281
45	70	95	5	314	123.3	123.3	123.3	0.1	0.2	0.15	0.381995
50	75	100	5	314	121.7	120.8	121.25	0.5	0.3	0.4	1.035876
55	80	105	5	471	126.5	126.3	126.4	0.1	0.4	0.25	0.931566

30	60	90	5	471	124.2	124.2	124.2	0.4	0.2	0.3	1.137681
35	65	95	5	471	123.1	122.2	122.65	0.1	0.1	0.1	0.38402
40	70	100	5	471	124.9	124.7	124.8	0.5	0.4	0.45	1.698317
45	75	105	5	471	128.3	128.3	128.3	0.3	0.2	0.25	0.917771
35	70	105	5	471	124.8	124.5	124.65	0.4	0.5	0.45	1.700361

Sumber :Dokumen pribadi, hasil survey lapangan di Pantai Lowita Kab. Pinrang

No lintasan : 2
 Hari/Tanggal : Sabtu, 4 April 2019
 Peneliti : Muriyati Tamrin
 Koordinat : 03°58'38,44" LS dan 119°34'37,8 BT",
 Cuaca : Cerah
 Tempat : Desa tasiwalie, Kac. Suppa Kab. Pinrang.

a	A	M	N	B	a level	k	I (mA)		I (mV)	V (mV)		V (mV)	ρ
							1	2		1	2		
5	0	5	10	15	5	31.4	89.6	85.6	87.6	74.5	80.8	77.65	27.83345
5	5	10	15	20	5	31.4	50.2	50.8	50.5	11.2	13.3	12.25	7.616832
5	10	15	20	25	5	31.4	122.6	121.9	122.25	101.8	104.4	103.1	26.48131
5	15	20	25	30	5	31.4	102.4	103.5	102.95	20.7	22.9	21.8	6.649053
5	20	25	30	35	5	31.4	83	81.5	82.25	47.5	52.1	49.8	19.01179
5	25	30	35	40	5	31.4	94	94	94	72	76	74	24.71915
5	30	35	40	45	5	31.4	87.9	85.8	86.85	24.4	21	22.7	8.207024
5	35	40	45	50	5	31.4	58.2	56.7	57.45	45	47	46	25.14186
5	40	45	50	55	5	31.4	103.4	102	102.7	17	23	20	6.114898
5	45	50	55	60	5	31.4	58.4	56.7	57.55	10	11.5	10.75	5.865334
5	50	55	60	65	5	31.4	56.7	55.9	56.3	6.1	9.9	8	4.461812
5	55	60	65	70	5	31.4	105.7	105.7	105.7	15.9	18.6	17.25	5.124409
5	60	65	70	75	5	31.4	73.3	721	397.15	10.5	7.2	8.85	0.69971
5	65	70	75	80	5	31.4	64.9	63.9	64.4	3.6	5.2	4.4	2.145342
5	70	75	80	85	5	31.4	87.5	86.4	86.95	9.7	11.2	10.45	3.773778
5	75	80	85	90	5	31.4	115.9	116	115.95	7.2	7.8	7.5	2.031048
5	80	85	90	95	5	31.4	82.4	81.5	81.95	15.4	16.9	16.15	6.188041
5	85	90	95	100	5	31.4	76.6	74.2	75.4	7.8	7.1	7.45	3.10252
5	90	95	100	105	5	31.4	31.9	38.8	35.35	80	50	65	57.73692
5	0	10	20	30	5	94.2	42.3	41.7	42	0.6	0.5	0.55	1.233571
5	5	15	25	35	5	94.2	46.2	44.8	45.5	1.1	1.4	1.25	2.587912
5	10	20	30	40	5	94.2	118.05	117.4	117.725	2.1	0.9	1.5	1.200255

5	15	25	35	45	5	94.2	51	50.6	50.8	0.6	0.3	0.45	0.834449
5	20	30	40	50	5	94.2	52.7	51.7	52.2	0.1	0.1	0.1	0.18046
5	25	35	45	55	5	94.2	96.7	97	96.85	0.2	0.1	0.15	0.145896
5	30	40	50	60	5	94.2	63	60.8	61.9	1.1	0.9	1	1.521809
5	35	45	55	65	5	94.2	83.7	81.3	82.5	3.3	3.9	3.6	4.110545
5	40	50	60	70	5	94.2	92.8	93.2	93	0.8	1.1	0.95	0.962258
5	45	55	65	75	5	94.2	80.8	76.1	78.45	0.2	0.2	0.2	0.240153
5	50	60	70	80	5	94.2	54.7	53.5	54.1	2.6	1.8	2.2	3.830684
5	55	65	75	85	5	94.2	91.5	87.5	89.5	0.6	0.5	0.55	0.578883
5	60	70	80	90	5	94.2	90.6	861	475.8	0.3	0.1	0.2	0.039596
5	65	75	85	95	5	94.2	96.6	93.7	95.15	0.8	1.2	1	0.990016
5	70	80	90	100	5	94.2	81.4	78	79.7	0.07	1.2	0.635	0.750527
5	75	85	95	105	5	94.2	31.54	28.63	30.085	1.4	0.9	1.15	3.600798
5	0	15	30	45	5	94.2	43.5	41.5	42.5	0.3	3	1.65	3.657176
5	5	20	35	50	5	188.4	38.37	39.89	39.13	0.5	0.7	0.6	2.888832
5	10	25	40	55	5	188.4	123.3	120.7	122	0.3	0.1	0.2	0.308852
5	15	30	45	60	5	188.4	50.1	48.8	49.45	0.3	1.1	0.7	2.666936
5	20	35	50	65	5	188.4	74.1	71.8	72.95	1.5	1.1	1.3	3.357368
5	25	40	55	70	5	188.4	90	87.3	88.65	1	0.7	0.85	1.80643
5	30	45	60	75	5	188.4	80.3	80	80.15	0.5	0.3	0.4	0.940237
5	35	50	65	80	5	188.4	75.1	74.6	74.85	0.1	0.3	0.2	0.503407
5	40	55	70	85	5	188.4	97.4	97.1	97.25	0.2	0.6	0.4	0.77491
5	45	60	75	90	5	188.4	84.2	82	83.1	0.7	0.3	0.5	1.133574
5	50	65	80	95	5	188.4	75	74.6	74.8	0.1	1.6	0.85	2.140909
5	55	70	85	100	5	188.4	113.5	115.7	114.6	0.3	1	0.65	1.068586
5	60	75	90	105	5	188.4	39	35.9	37.45	0.3	0.3	0.3	1.509212
5	0	20	40	60	5	188.4	47.1	47.2	47.15	0.8	0.3	0.55	2.197667
5	5	25	45	65	5	188.4	32.37	30.86	31.615	0.3	0.3	0.3	1.787759
5	10	30	50	70	5	188.4	125.3	125.1	125.2	0.4	0.1	0.25	0.376198
5	15	35	55	75	5	314	62.6	60.6	61.6	1	0.1	0.55	2.803571
5	20	40	60	80	5	314	63.6	61.6	62.6	0.5	0.4	0.45	2.257188
5	25	45	65	85	5	314	48.1	46.8	47.45	0.5	0.4	0.45	2.977871
5	30	50	70	90	5	314	88.1	85.3	86.7	0.4	0.9	0.65	2.354095
5	35	55	75	95	5	314	110	109.2	109.6	1.4	0.2	0.8	2.291971
5	40	60	80	100	5	314	60.4	58.8	59.6	0.5	0.1	0.3	1.580537
5	45	65	85	105	5	314	38.25	36.54	37.395	0.3	1.5	0.9	7.55716
5	0	25	50	75	5	314	50.3	51	50.65	0.5	0.1	0.3	1.859822
5	5	30	55	80	5	314	30.39	29.9	30.145	0.2	0.5	0.35	3.645712
5	10	35	60	85	5	314	118.2	116.7	117.45	0.1	0.1	0.1	0.267348

5	15	40	65	90	5	314	66.4	66.1	66.25	0.2	0.3	0.25	1.184906
5	20	45	70	95	5	314	69.6	66.8	68.2	0.3	0.4	0.35	1.611437
5	25	50	75	100	5	314	78.5	76.2	77.35	1.1	0.9	1	4.05947
5	30	55	80	105	5	471	59	57.6	58.3	2.5	1.6	2.05	16.56175
5	0	30	60	90	5	471	46.5	44.8	45.65	0.5	0.5	0.5	5.158817
5	5	35	65	95	5	471	59.9	55.1	57.5	1.1	0.8	0.95	7.781739
5	10	40	70	100	5	471	46.1	45.2	45.65	1.9	1.4	1.65	17.0241
5	15	45	75	105	5	471	83.7	80.4	82.05	3.8	3.7	3.75	21.52651
5	0	35	70	105	5	471	42.9	41.2	42.05	0.2	0.2	0.2	2.24019

Sumber :Dokumen pribadi, hasil survey lapangan di Pantai Lowita Kab. Pinrang

Keterangan:

A dan B = Jarak elektroda arus ke pusat susunan elektroda (m)

M dan N = Jarak elektroda potensial ke pusat susunan elektroda (m)

K = Faktor geometri konfigurasi Schlumberger (m)

I = Arus yang diinjeksikan ke bawah permukaan (mA)

V = Tegangan di bawah permukaan (mV)

ρ = Resistivitas semu (Ωm)

Spasi = Jarak elektroda (m)

N = Konstanta

LAMPIRAN 2
(Dokumentasi di Lapangan

1. Survei Lapangan



2. Membentangkan kabel





3. Menancapkan Elektroda





4. Merangkai Resistivimeter





5. Memasang Kabel ke Elektroda



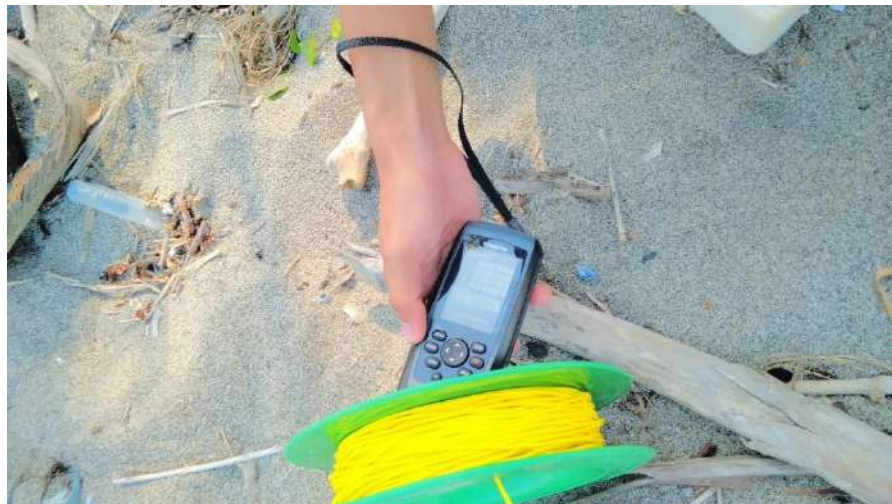


6. Menginjeksikan Arus Lalu Mencatat Data Hasil Pengamatan





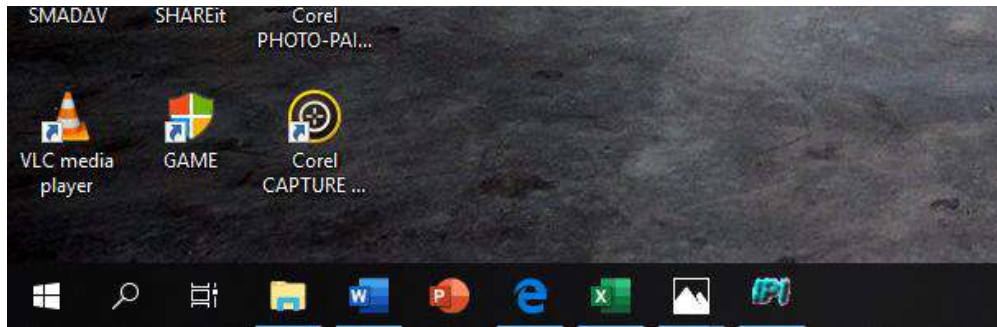
7. Mencatat titik Koordinat elektroda



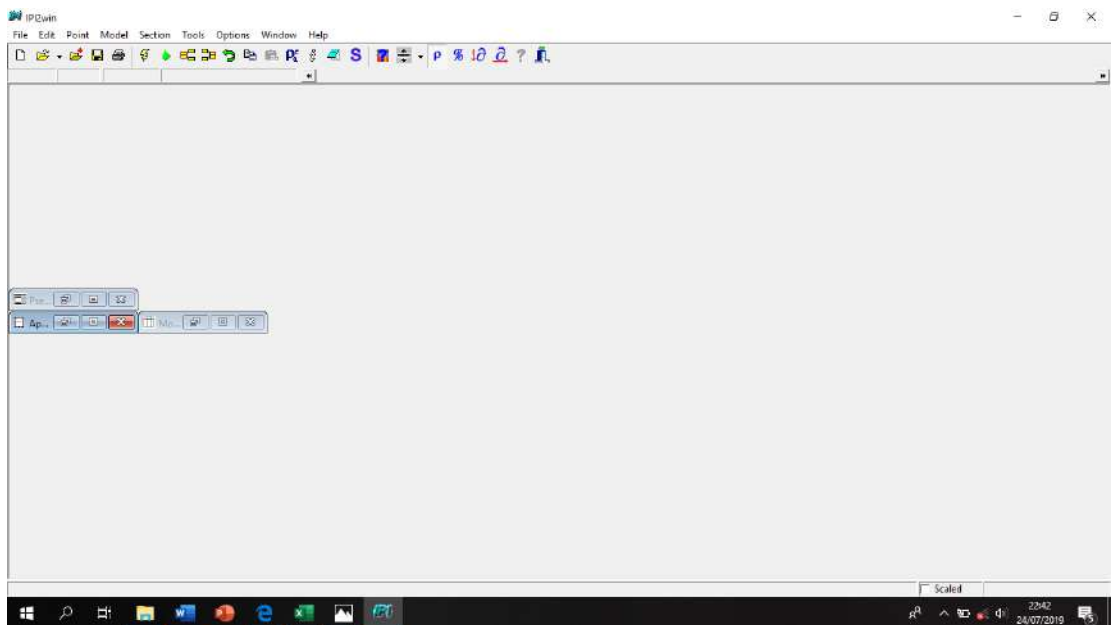


LAMPIRAN 3
(Pengolahan Data dengan
IP2WIN)

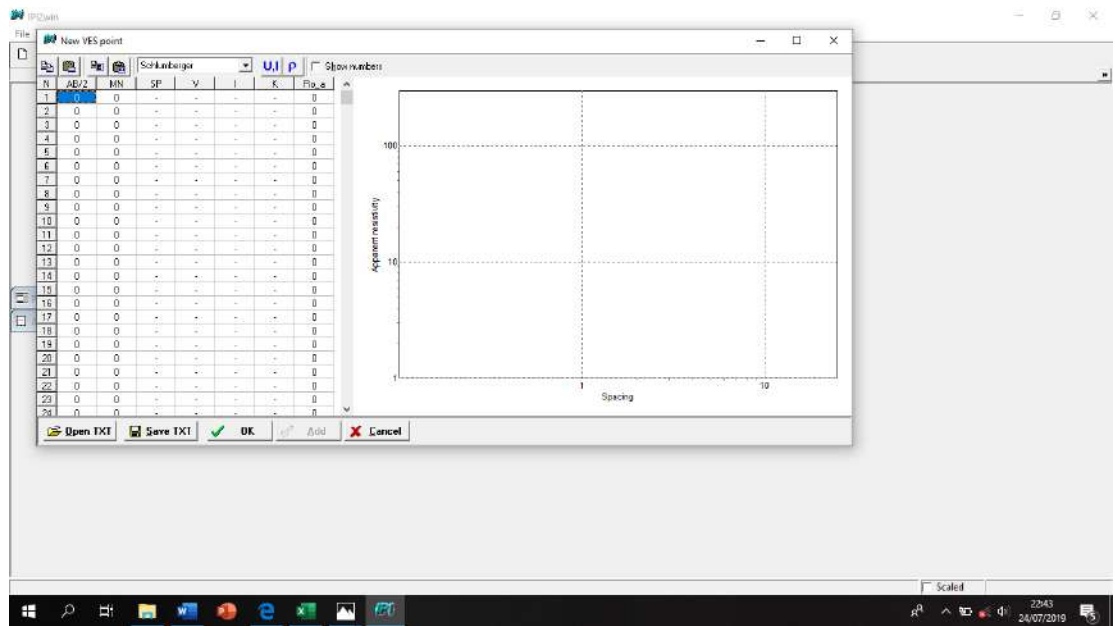
1. Membuka Software IP2WIN



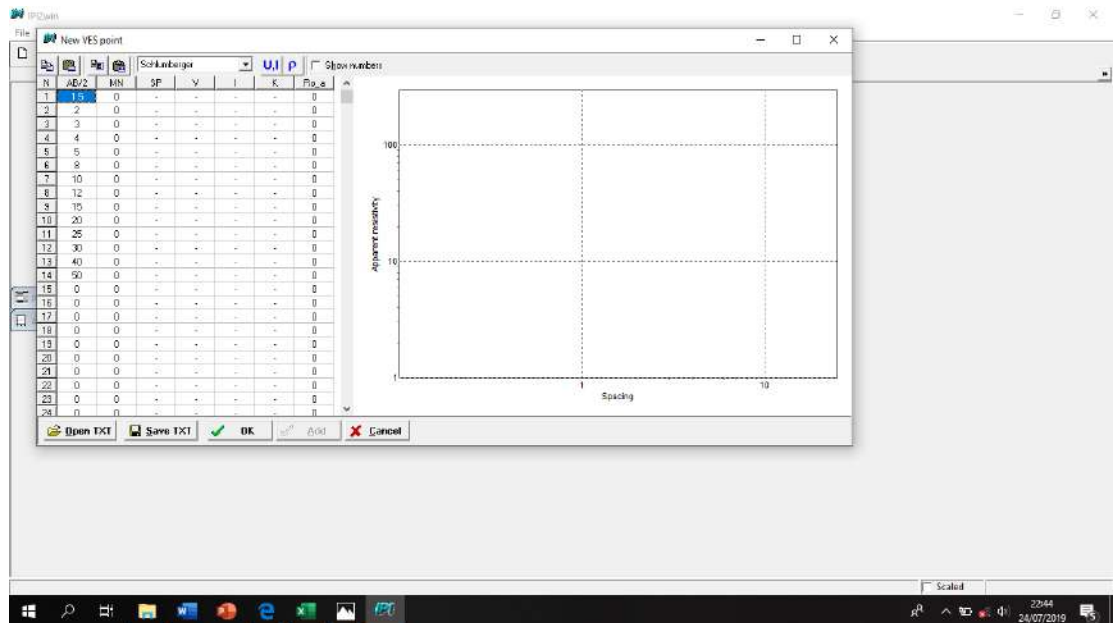
2. Tampilan IP2WIN

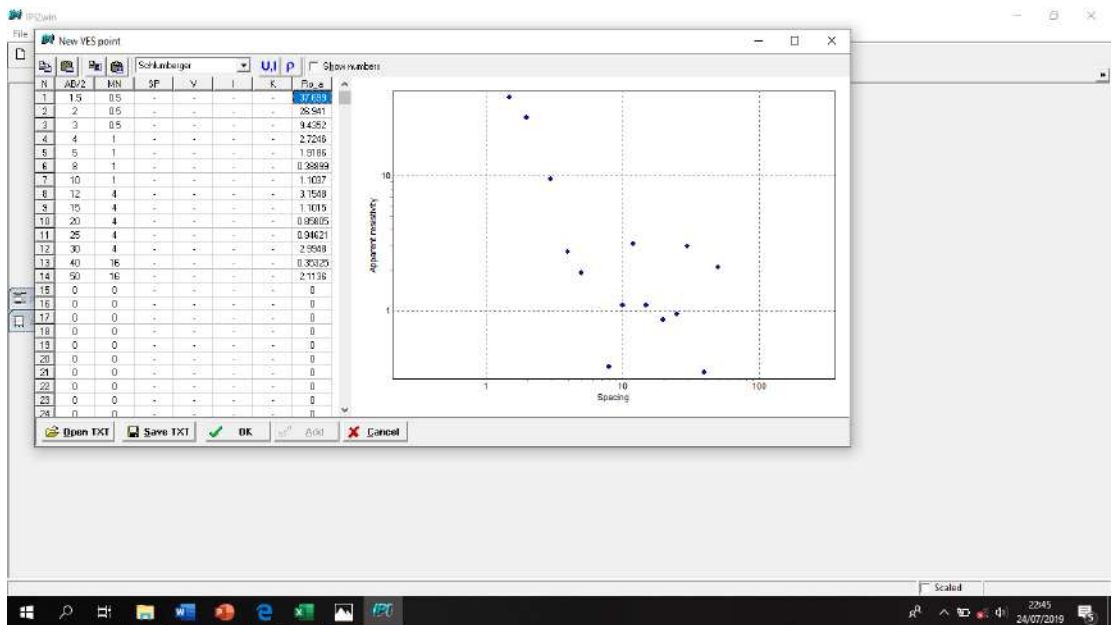
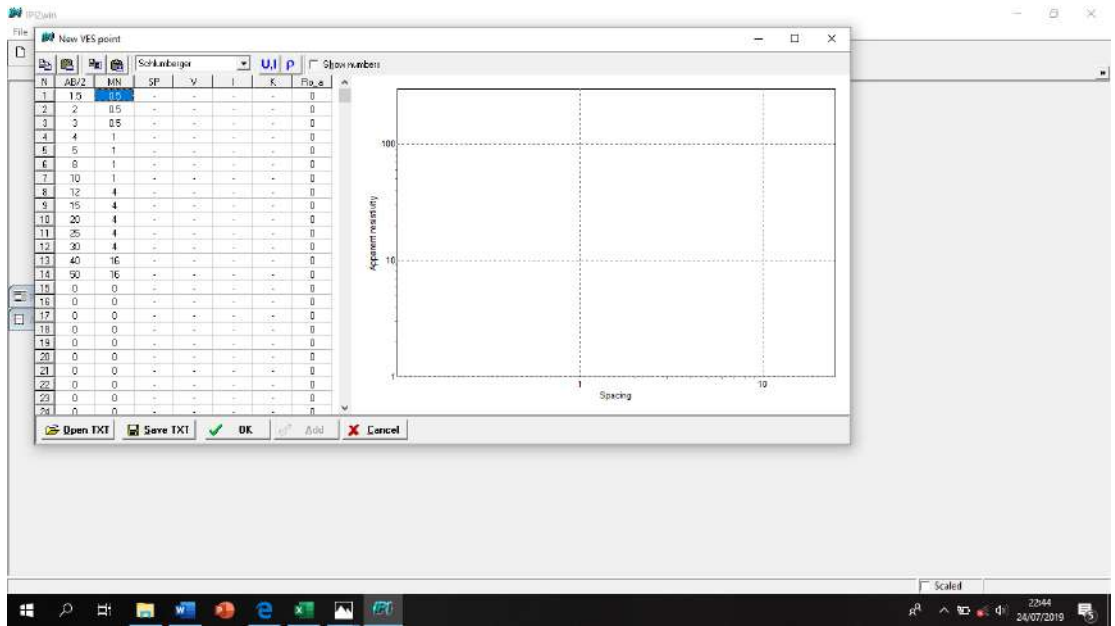


3. Klil New Ves Point

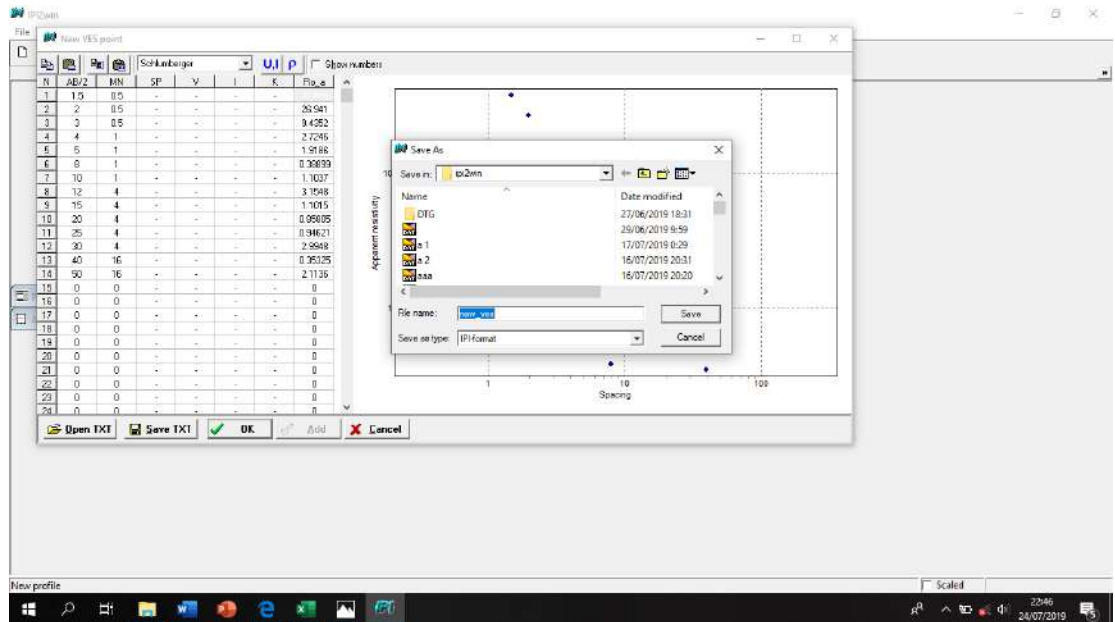


4. Menginput data AB/2, MN dan ρ pada layer *New Ves Point*

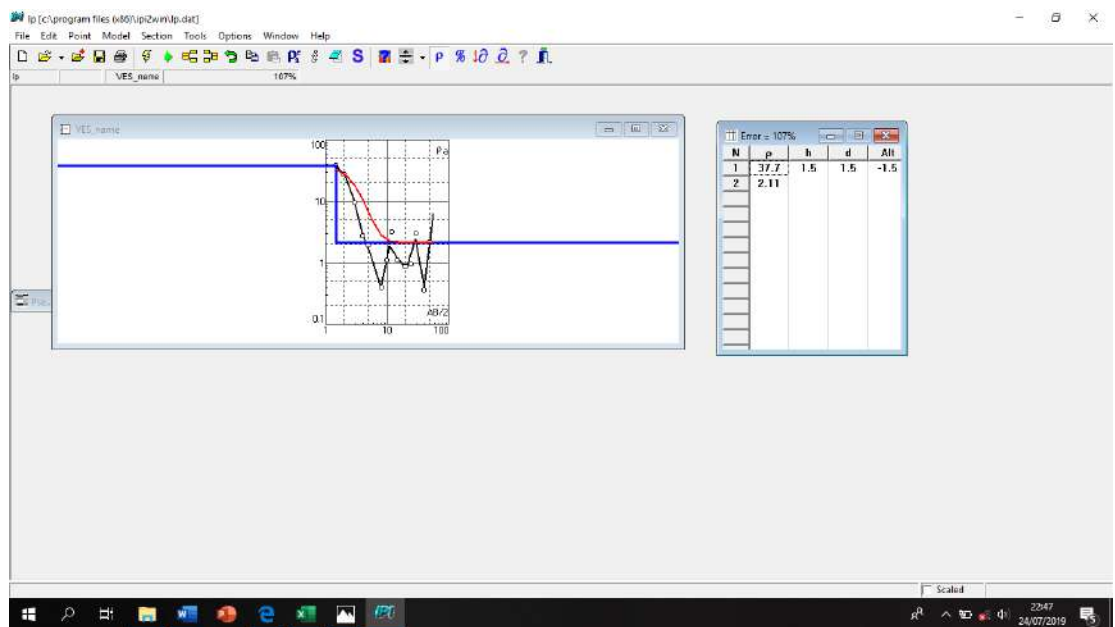




5. Menyimpan file *New Ves Point*



6. Tampilan grafik yang telah diolah

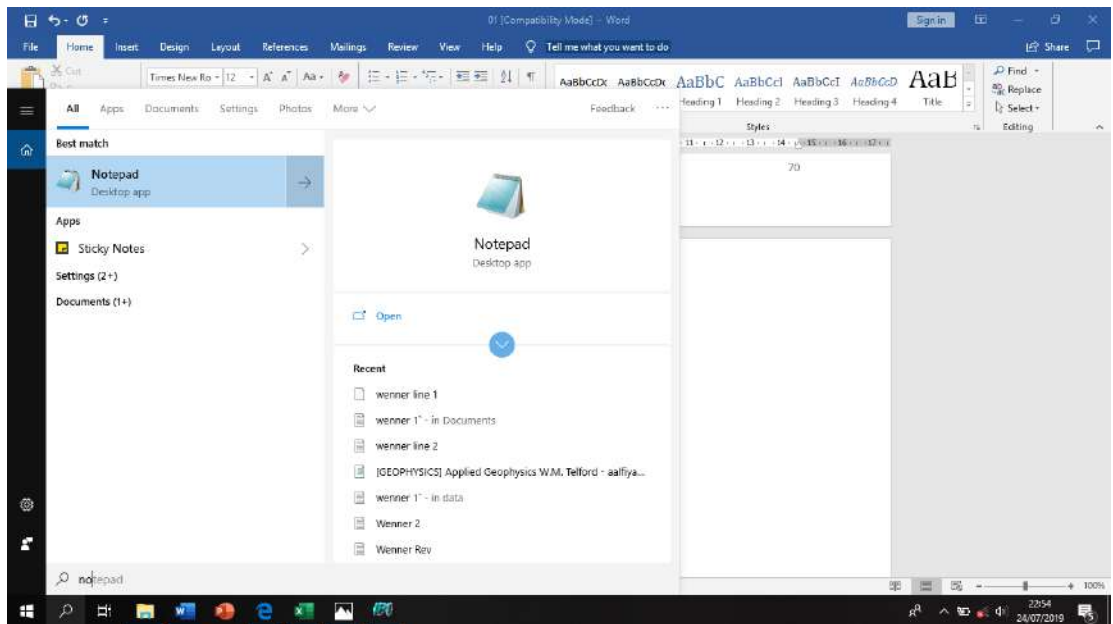


LAMPIRAN 4

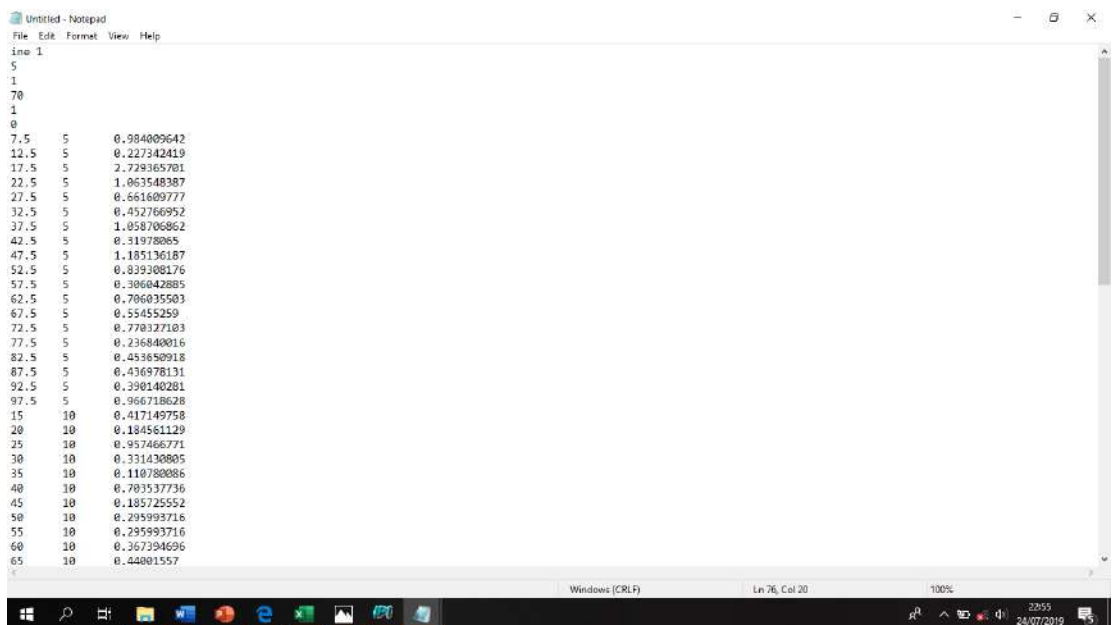
(Pengolahan Data dengan

Notepad)

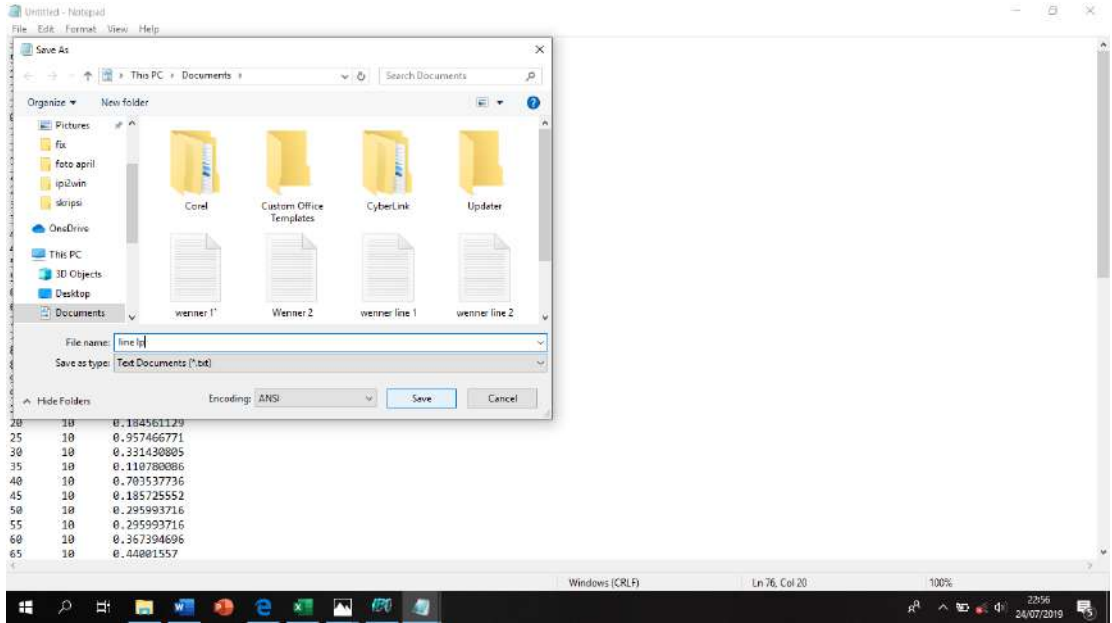
1. Membuka *Notepad*



2. Menginput Data *Ms. Excel* ke *Notepad*

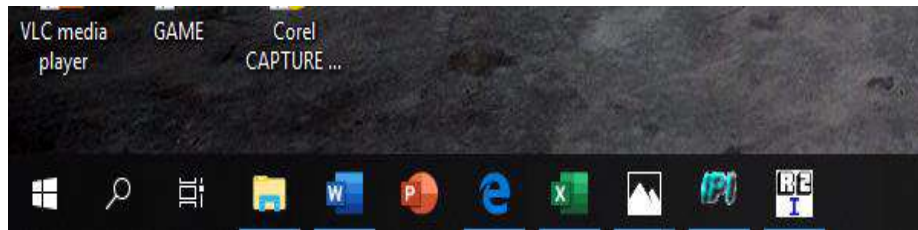


3. Menyimpan Data *Notepad*

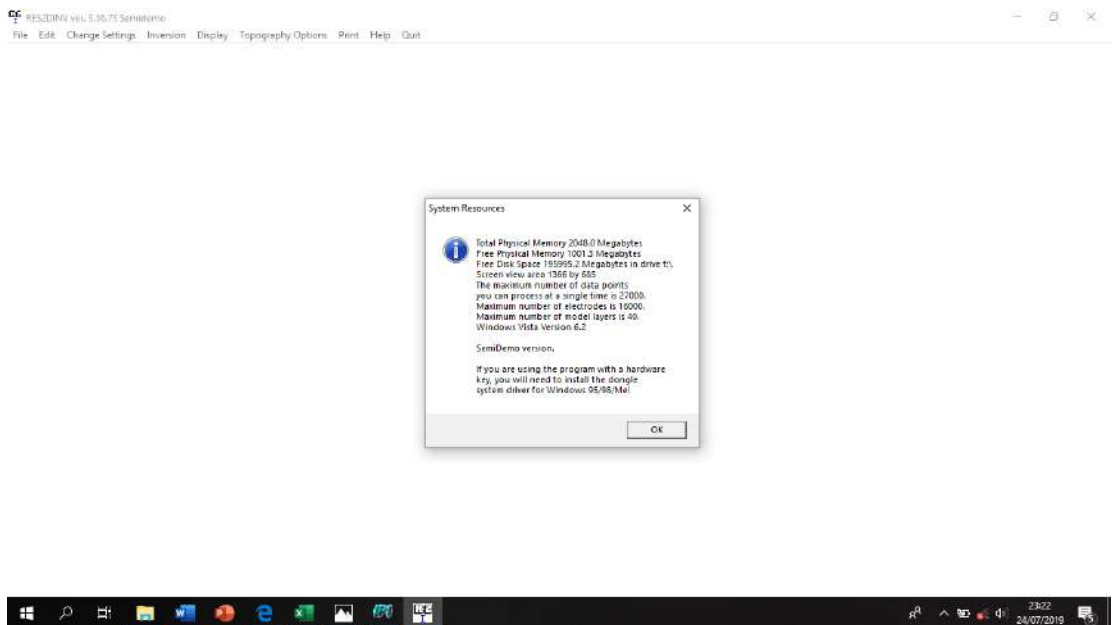


LAMPIRAN 5
(Pengolahan Data dengan
RES2DINV)

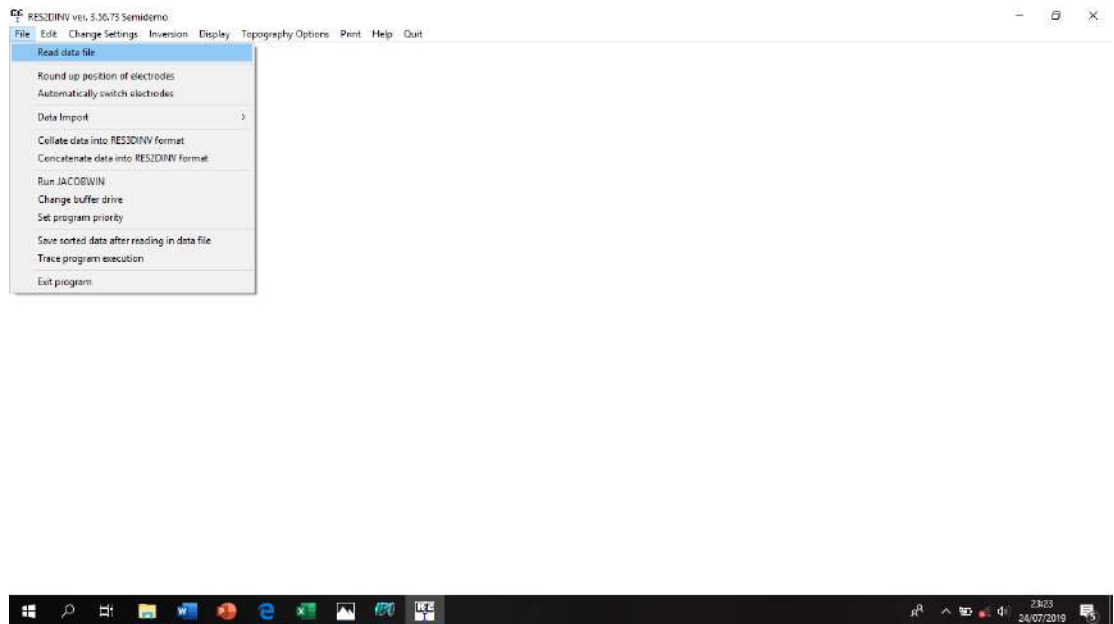
1. Membuka Software *Res2dinv*



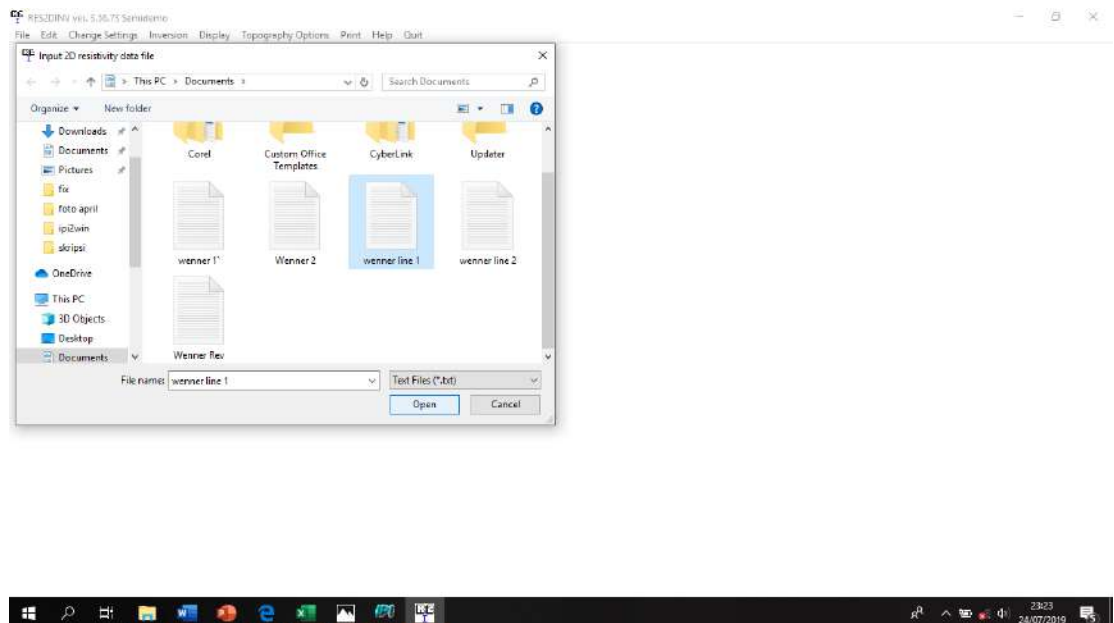
2. Tampilan *Res2dinv*



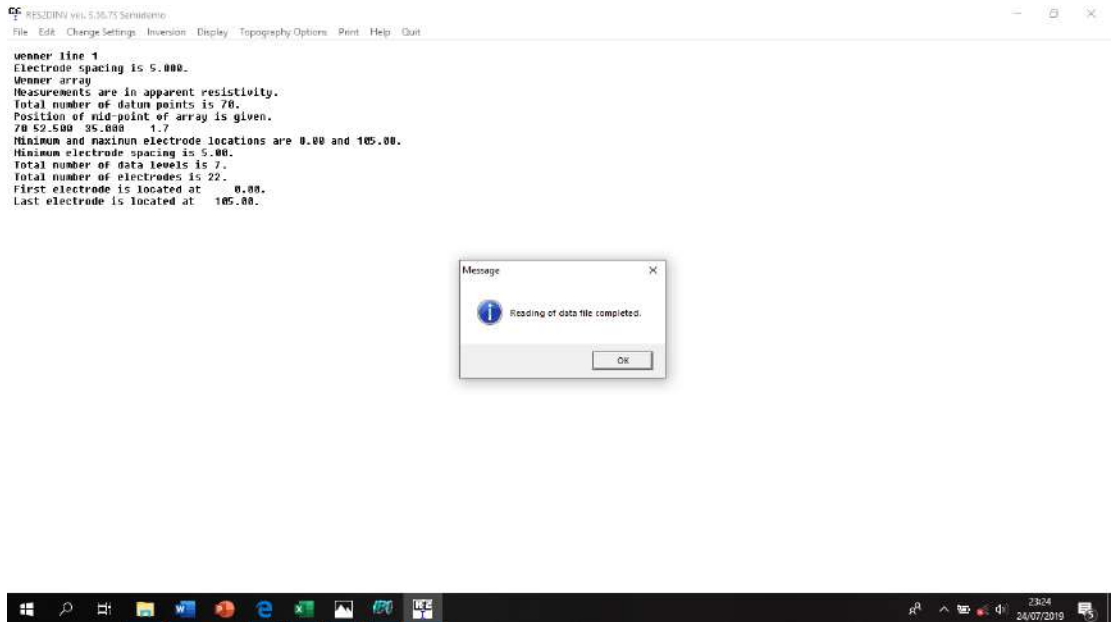
3. Memili Menu *Read Data File*



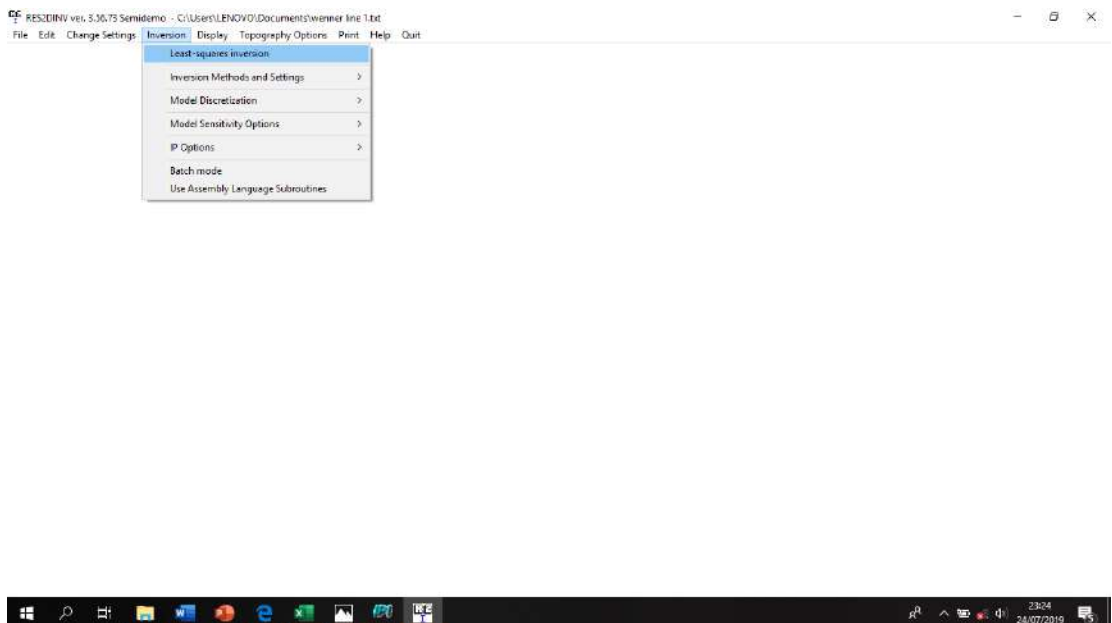
4. Memilih File *Notepad* yang sebelumnya telah disimpan



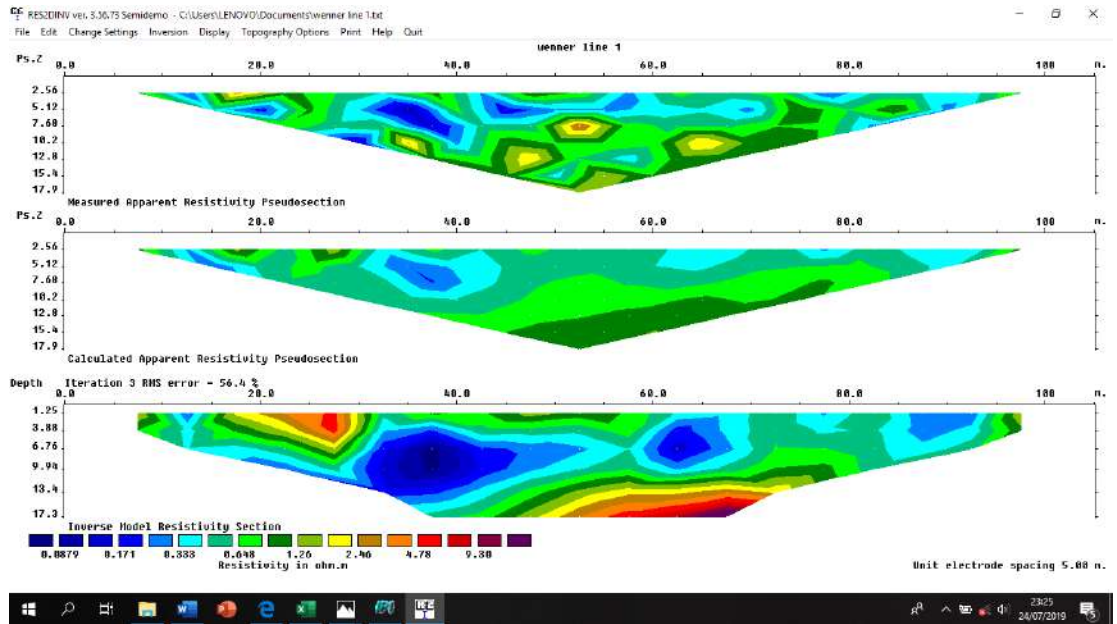
5. Menginput Data dari *Notepad*



6. Memilih *inversion* kemudian Pilih *Least-square Inversion*




7. Hasil Inversion



LAMPIRAN 6

(Peta yang digunakan)

PETA LINTASAN GEOLISTRIK



UNIVERSITAS ALAUDDIN
MAKASSAR

FISIKA
FAKULTAS SAINS DAN TEKNOLOGI
UIN ALAUDDIN MAKASSAR
2019




1:2172

KETERANGAN :

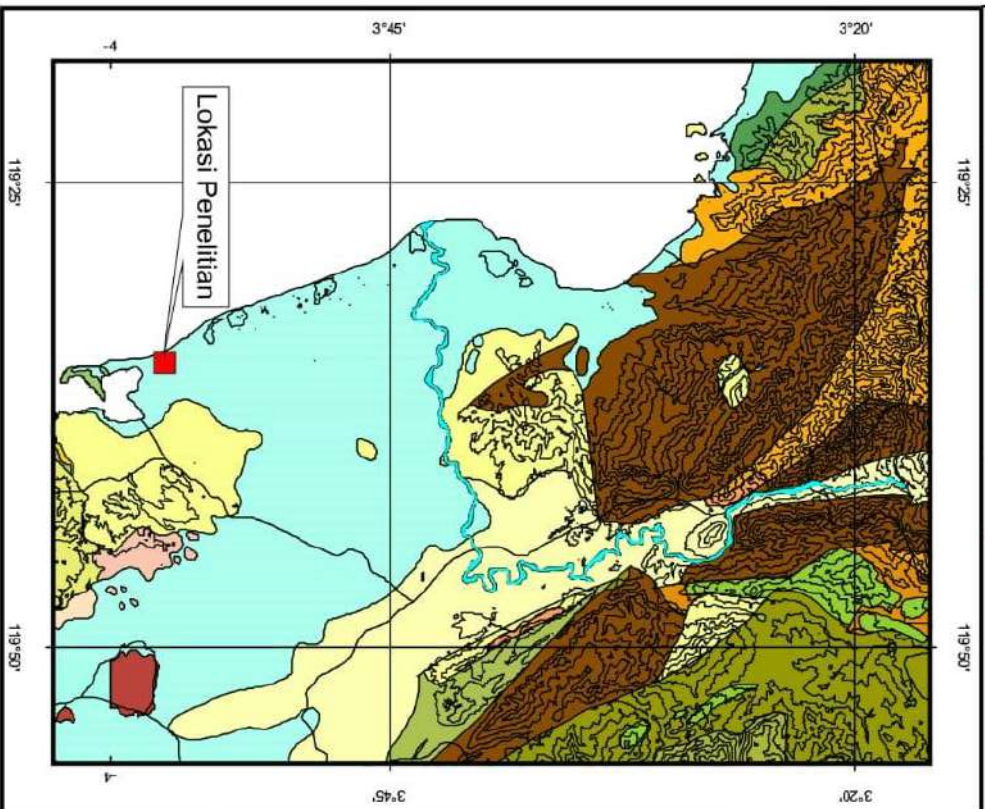
-  Lokasi Penelitian
-  Titik Sounding 1
-  Titik Sounding 2
-  Lintasan Schlumberger
-  Lintasan Wenner

PETA INDEKS:



MURIYATI
60400115016

PETA GEOLOGI KAB. PINRANG
(Lembar Majene dan Palopo Bagian Barat)


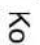



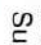






Jurusan Fisika
 Fakultas Sains dan Teknologi
 Universitas Islam Negeri Alauddin
 Makassar



Skala Peta :
 1:550000
 10 0 10 Kilometers

Legenda :

-  Kontur
-  Batas Kabupaten
-  Batas Formasi
-  Sungai
-  Qa Endapan Permukaan Aluvium
-  Tmpv Aliran Lava
-  Tpw Konglomerat
-  Tmpss Batu Pasir Bersusunan Andesit
-  Tmtv Batu Gununggapi Talaya
-  Tmppv Batu Gununggapi

Muriyati Tmrin
 NIM : 60400115016

- Sumber Peta :
1. Data Geospasial Indonesia
 2. Peta Geologi Lembar Majene dan Bagian Barat Palopo 1998

LAMPIRAN 7

**(Dokumentasi persuratan
penelitian)**



**PEMERINTAH KABUPATEN PINRANG
SEKRETARIAT DAERAH**

Jl. Bintang No. Telp. (0421) 923058 - 922914
PINRANG 91212

Pinrang, 01 Maret 2019

Nomor : 070/ 74 /Kemasy.
Lampiran : -
Perihal : Rekomendasi Penelitian

Kepada
Yth, Camat Suppa
di-
Tempat.

Berdasarkan Surat Kepala Dinas PM-PTSP Prov. Sulawesi Selatan Nomor: 11817/S.01/PTSP/2019 tanggal 25 Februari 2019 Perihal Permohonan Izin Penelitian, untuk maksud tersebut disampaikan kepada Saudara bahwa:

Nama : MURIYATI TAMRIN
NIM : 60400115016
Pekerjaan/Prog.Studi : Mahasiswi/Fisika
Alamat : Desa Masolo Kec.Patampanua Kab.Pinrang
Telepon : 082393073183

Bermaksud mengadakan Penelitian di Daerah / Instansi Saudara Dalam Rangka Penyusunan Skripsi dengan Judul " *SURVEI POTENSI PASIR KUARSA DENGAN METODE GEOLISTRIK KONFIGURASI WINNER – SCHLUMBERGER DI PANTAI LOWITA KABUPATEN PINRANG SULAWESI SELATAN*" yang pelaksanaannya pada tanggal 01 Maret s/d 01 Juni 2019.

Sehubungan hal tersebut di atas, pada prinsipnya kami menyetujui atau merekomendasikan kegiatan yang dimaksud dan dalam pelaksanaan kegiatan wajib memenuhi ketentuan yang tertera di belakang rekomendasi penelitian ini:

Demikian rekomendasi ini disampaikan kepada saudara untuk diketahui dan pelaksanaan sebagaimana mestinya.

Asisten Sekretaris Daerah

Asisten Pemerintahan dan Kesra


Drs. BISMAR LAUPE
Pangkal Pembina Utama Muda
Nip : 19590305 199202 1 001

Tembusan

1. Bupati Pinrang Sebagai Laporan di Pinrang;
2. Dandim 1404 Pinrang di Pinrang;
3. Kapolres Pinrang di Pinrang;
4. Kepala Dinas PSDA Kab.Pinrang di Pinrang;
5. Kepala Badan Kesbang dan Politik Kab.Pinrang di Pinrang;
6. Kadis PM-PTSP Prov. Sul-Sel di Makassar;
7. Yang bersangkutan untuk diketahui;
8. Arsip.



PEMERINTAH PROVINSI SULAWESI SELATAN
DINAS PENANAMAN MODAL DAN PELAYANAN TERPADU SATU PINTU
BIDANG PENYELENGGARAAN PELAYANAN PERIZINAN

Nomor : 11817/S.01/PTSP/2019
Lampiran :
Perihal : Izin Penelitian

Kepada Yth.
Bupati Pinrang
Cq. Kepala Bappeda Kab. Pinrang

di-
Tempat

Berdasarkan surat Dekan Fak. Sains dan Teknologi UIN Alauddin Makassar Nomor : 722/Un.6/FST/PP.00.9/02/2019 tanggal 22 Februari 2019 perihal tersebut diatas, mahasiswa/peneliti dibawah ini:

Nama : MURIYATI TAMRIN
Nomor Pokok : 60400115016
Program Studi : Fisika
Pekerjaan/Lembaga : Mahasiswa(S1)
Alamat : Jl. H. M. Yasin Limpo No. 36, Samata Gowa

Bermaksud untuk melakukan penelitian di daerah/kantor saudara dalam rangka penyusunan Skripsi, dengan judul :

" SURVEI PASIR KUARSA DENGAN METODE GEOLISTRIK KONFIGURASI WINNER-SHUMBERGER DI PANTAI LOWITA KAB. PINRANG SULAWESI SELATAN "

Yang akan dilaksanakan dari : Tgl. 01 Maret s/d 01 Juni 2019

Sehubungan dengan hal tersebut diatas, pada prinsipnya kami *menyetujui* kegiatan dimaksud dengan ketentuan yang tertera di belakang surat izin penelitian.

Demikian Surat Keterangan ini diberikan agar dipergunakan sebagaimana mestinya.

Diterbitkan di Makassar
Pada tanggal : 25 Februari 2019

A.n. GUBERNUR SULAWESI SELATAN
KEPALA DINAS PENANAMAN MODAL DAN PELAYANAN TERPADU SATU
PINTU PROVINSI SULAWESI SELATAN
Selaku Administrator Pelayanan Perizinan Terpadu

A. M. YAMIN, SE., MS.
Pangkat : Pembina Utama Madya
Nip : 19610513 199002 1 002

Tembusan Yth
1. Dekan Fak. Sains dan Teknologi UIN Alauddin Makassar di Makassar;
2. Peringkat

SKRIPSI PTSP 25-02-2019



Jl. Bougenville No.5 Telp. (0411) 441077 Fax. (0411) 448936
Website : <http://dinasptsp.sulselprov.go.id> Email : ptsp@sulselprov.go.id
Makassar 90222



LAMPIRAN 8
(SK pembimbing)



KEPUTUSAN DEKAN FAKULTAS SAINS & TEKNOLOGI UIN ALAUDDIN MAKASSAR
NOMOR : 073 TAHUN 2019

TENTANG
PEMBIMBING DALAM PENELITIAN DAN PENYUSUNAN SKRIPSI MAHASISWA JURUSAN FISIKA
FAKULTAS SAINS & TEKNOLOGI UIN ALAUDDIN MAKASSAR
DEKAN FAKULTAS SAINS & TEKNOLOGI UIN ALAUDDIN MAKASSAR

- Membaca : Surat Permohonan Jurusan FISIKA Fakultas Sains & Teknologi UIN Alauddin Makassar, Nama MURIYATI TAMRIN NIM : 60400115016 tertanggal 11 Januari 2019 untuk mendapatkan Pembimbing Skripsi dengan Judul : "Servey Potensi Kuarsa Dengan Metode Geolistrik Resistivitas (Tahanan Jenis) Konfigurasi Wenner Schlumberger Di Pantai Lowita Kab. Pinrang Sulawesi Selatan"
- Menimbang : a. Bahwa untuk membantu penelitian dan penyusunan skripsi mahasiswa tersebut dipandang perlu untuk menetapkan pembimbing dalam penelitian dan penyusunan skripsi mahasiswa tersebut diatas.
b. Bahwa mereka yang ditetapkan dalam surat keputusan ini dipandang cakap dan memenuhi syarat untuk diserahi tugas sebagai pembimbing penyusunan skripsi mahasiswa tersebut diatas.
- Mengingat : 1. Undang-undang Nomor 20 Tahun 2003 Tentang Sistem Pendidikan Nasional,
2. Undang-undang Nomor 17 tahun 2003 Tentang Keuangan Negara,
3. Undang-undang Nomor 12 Tahun 2012 Tentang Pendidikan Tinggi,
4. Peraturan Menteri Agama RI No. 1 Tahun 2012 Tentang Perubahan Ketiga Atas Peraturan Menteri Agama Nomor 2 Tahun 2006 Tentang Mekanisme Pelaksanaan Pembayaran Atas Beban Anggaran Pendapatan dan Belanja Negara di lingkungan Kementerian Agama,
5. Peraturan Menteri Agama RI Nomor 25 Tahun 2013 Tentang Organisasi dan Tata Kerja UIN Alauddin Makassar sebagaimana telah diubah terakhir dengan Peraturan Menteri Agama Nomor 3 Tahun 2018 tentang Organisasi dan Tata Kerja UIN Alauddin Makassar,
6. Peraturan Menteri Agama RI Nomor 20 Tahun 2014 jo Peraturan Menteri Agama Nomor 8 Tahun 2016 Tentang Statuta UIN Alauddin Makassar,
7. Keputusan Menteri Agama Nomor 289 Tahun 1993 jo Nomor 202 B tahun 1998 Tentang pemberian Kuasa dan Pendelegasian Wewenang Menandatangani Surat Keputusan,
8. Keputusan Menteri Keuangan Nomor 330/KMK/05/ Tahun 2008 Tentang Penetapan UIN Alauddin Makassar pada Depag Sebagai Institusi Pemerintah yang Menerapkan Pengelolaan Badan Layanan Umum (BLU),
9. Keputusan Rektor UIN Alauddin Makassar No. 200 tahun 2016 Tentang Pedoman Edukasi UIN Alauddin Makassar.
- MEMUTUSKAN
- Pertama : Mengangkat/ Menunjuk saudara :
1. **Rahmaniah, S.Si., M.Si.** sebagai Pembimbing Pertama,
2. **Ayusari Wahyuni, S.Si., M.Si.** sebagai Pembimbing Kedua,
- Kedua : Tugas Pembimbing dalam penelitian dan penyusunan skripsi mahasiswa adalah memeriksa draft skripsi dan naskah skripsi, memberi bimbingan, petunjuk-petunjuk, perbaikan mengenai materi, metode, bahasa dan kemampuan menguasai masalah,
- Ketiga : Segala biaya yang timbul akibat dikeluarkannya surat keputusan ini dibebankan kepada Anggaran Belanja Fakultas Sains & Teknologi UIN Alauddin Makassar,
- Keempat : Surat Keputusan ini mulai berlaku sejak tanggal ditetapkan dan apabila dikemudian hari terdapat kekeliruan didalamnya akan diperbaiki sebagaimana mestinya,
- Kelima : Surat Keputusan ini disampaikan kepada masing-masing yang bersangkutan untuk diketahui dan dilaksanakan dengan penuh tanggungjawab.

Ditetapkan di Makassar
Pada tanggal : 11 Januari 2019



Dekan,
Prof. Dr. Anuddin, M.Ag.
NIP. 1969 205 199303 1 001



KEPUTUSAN DEKAN FAKULTAS SAINS & TEKNOLOGI
UIN ALAUDDIN MAKASSAR
NOMOR : 1320 TAHUN 2019

TENTANG

PANITIA UJIAN KOMPREHENSIF
JURUSAN FISIKA FAKULTAS SAINS DAN TEKNOLOGI
DEKAN FAKULTAS SAINS & TEKNOLOGI UIN ALAUDDIN MAKASSAR

- Membaca : Surat permohonan Ujian Komprehensif : MURIYATI TAMRIN, NIM: 60400115016
- Menimbang : Bahwa untuk pelaksanaan dan kelancaran ujian komprehensif perlu dibentuk panitia ujian
- Mengingat :
1. Undang-Undang No. 20 Tahun 2003 tentang Sistem Pendidikan Nasional;
 2. Undang-Undang Nomor 17 Tahun 2003 tentang Keuangan Negara;
 3. Undang-Undang Nomor 12 Tahun 2012 tentang Pendidikan Tinggi;
 4. Peraturan Menteri Agama RI No.1 Tahun 2012 tentang Perubahan ketiga atas Peraturan Menteri Agama Nomor 2 Tahun 2006 tentang Mekanisme Pelaksanaan Pembayaran atas Beban Anggaran Pendapatan dan Belanja Negara di Lingkungan Kementerian Agama;
 5. Peraturan Menteri Agama RI Nomor 3 Tahun 2018 tentang Organisasi dan Tata Kerja UIN Alauddin Makassar;
 6. Peraturan Menteri Agama RI, Nomor 20 Tahun 2014 jo Peraturan Menteri Agama Nomor 8 Tahun 2015 tentang Statuta UIN Alauddin Makassar;
 7. Keputusan Menteri Agama Nomor: 289 Tahun 1993 jo Nomor: 202 B Tahun 1998 tentang Pemberian Kuasa dan Pendelegasian Wewenang Menandatangani Surat Keputusan;
 8. Keputusan Menteri Keuangan No.330/05/2008 tentang penetapan UIN Alauddin Makassar pada Dep.Agama sebagai Instansi Pemerintah yang Menerapkan Pengelolaan Badan Layanan Umum (BLU);
 9. Keputusan Rektor UIN Alauddin No.200 tahun 2016 tentang Pedoman Edukasi UIN Alauddin Makassar;

MEMUTUSKAN

- Menetapkan :
1. Membentuk Panitia Ujian Komprehensif, Jurusan Fisika Fakultas Sains dan Teknologi UIN Alauddin Makassar dengan komposisi:
Ketua : Dr.Hj.Wasilah,S.T., M.T.
Sekertaris : Nurman Najib,S.Ag., M.M.
Penguji 1 : Dr.Abdullah Thalib,M.Ag.
Penguji 2 : Rahmaniah,S.Si., M.Si.
Penguji 3 : Ayusari Wahyuni, S.Si., M.Sc.
Pelaksana : Hapsah,S.T.
 2. Panitia bertugas menyiapkan perlengkapan administrasi dan melaksanakan ujian
 3. Biaya pelaksanaan ujian dibebankan kepada anggaran Fakultas Sains dan Teknologi UIN Alauddin Makassar.
 4. Tugas Panitia dianggap selesai setelah seluruh rangkaian kegiatan ujian berakhir.
 5. Apabila dikemudian hari ternyata terdapat kekeliruan dalam surat keputusan ini akan diubah dan diperbaiki sebagaimana mestinya.

Surat keputusan ini disampaikan kepada yang bersangkutan untuk diketahui dan dilaksanakan dengan penuh rasa tanggung jawab.

Ditetapkan di : Makassar
Pada tanggal : 04 Juli 2019

Dekan
Prof. Dr. H. Arifuddin, M. Ag.
Nip. 19691205 199303 1 001



UIN ALAUDDIN

KEPUTUSAN DEKAN FAKULTAS SAINS & TEKNOLOGI
UIN ALAUDDIN MAKASSAR
NOMOR : 3074 TAHUN 2019

TENTANG

PANITIA UJIAN MUNAQASYAH
JURUSAN FISIKA FAKULTAS SAINS & TEKNOLOGI

DEKAN FAKULTAS SAINS & TEKNOLOGI UIN ALAUDDIN MAKASSAR

Membaca : Surat permohonan : MURIYATI TAMRIN
NIM : 60400116014
Tanggal : 14 November 2019
Mahasiswa Jurusan : FISIKA

Untuk Ujian Skripsi/ Munaqasyah yang berjudul "Survey Potensi Pasir Kuasa dengan Metode Geolistrik Resistivitas Konfigurasi Wenner dan Schlumberger di Pantal Lowita Kab. Pinrang Sulawesi Selatan"

Menimbang : 1. Bahwa saudara tersebut diatas telah memenuhi persyaratan ujian Skripsi/ Munaqasyah
2. Bahwa untuk pelaksanaan dan kelancaran ujian/ Munaqasyah perlu dibentuk panitia ujian,

Mengingat : 1. Undang-Undang No. 20 Tahun 2003 tentang Sistem Pendidikan Nasional;
2. Undang-Undang Nomor 17 Tahun 2003 tentang Keuangan Negara;
3. Undang-Undang Nomor 12 Tahun 2012 tentang Pendidikan Tinggi;
4. Peraturan Menteri Agama RI No.1 Tahun 2012 tentang Perubahan ketiga atas Peraturan Menteri Agama Nomor 2 Tahun 2004 tentang Mekanisme Pelaksanaan Pembayaran atas Beban Anggaran Pendapatan dan Belanja Negara di Lingkungan Kementerian Agama;
5. Peraturan Menteri Agama RI Nomor 3 Tahun 2018 tentang Organisasi dan Tata Kerja UIN Alauddin Makassar;
6. Peraturan Menteri Agama RI, Nomor 20 Tahun 2014 jo Peraturan Menteri Agama Nomor 8 Tahun 2016 tentang Statuta UIN Alauddin Makassar;
7. Keputusan Menteri Agama Nomor 289 Tahun 1993 jo Nomor 202 & Tahun 1998 tentang Pemberian Kuasa dan Pendelegasian Wewenang Menandatangani Surat Keputusan
8. Keputusan Menteri Keuangan No.330/05/2008 tentang penetapan UIN Alauddin Makassar pada Dep.Agama sebagai Instansi Pemerintah yang Menerapkan Pengelolaan Badan Layanan Umum (BLU)
9. Keputusan Rektor UIN Alauddin No.200 tahun 2015 tentang Pedoman Edukasi UIN Alauddin Makassar

MEMUTUSKAN

Menetapkan : 1. Membentuk Dewan Penguji Skripsi/ Munaqasyah Fakultas Sains dan Teknologi UIN Alauddin Makassar dengan komposisi :

Ketua : Prof. Dr. Muhammad Halifah Mustami, M.Pd.
Sekertaris : Ihsan, S.Pd.,M.Si.
Pembimbing 1 : Rahmanlah, S. Si., M.Si
Pembimbing 2 : Ayusari Wahyuni, S.Si., M.Sc.
Penguji 1 : Muh. Said L, S.Si., M.Pd.
Penguji 2 : Dr. Abdullah, S.Ag., M.Ag.
Pelaksana : Nurman Najib, S.Ag., M.M.

2. Panitia bertugas melaksanakan ujian Skripsi/Munaqasyah bagi saudara yang namanya tersebut diatas.
3. Biaya pelaksanaan ujian dibebankan kepada anggaran Fakultas Sains & Teknologi UIN Alauddin Makassar.
4. Apabila dikemudian hari ternyata terdapat kekeliruan dalam surat keputusan ini akan diubah dan diperbaiki sebagaimana na mestinya.

Keputusan ini disampaikan kepada yang bersangkutan untuk diketahui dan dilaksanakan dengan penuh rasa tanggung jawab

Ditetapkan di : Makassar

Pada tanggal : 14 November 2019



Prof. Dr. Muh. Halifah Mustami, M.Pd.
NIP. 19710412 200003 1 001



KEPUTUSAN DEKAN FAKULTAS SAINS & TEKNOLOGI
UIN ALAUDDIN MAKASSAR
NOMOR : 405 TAHUN 2019

TENTANG
PANITIA SEMINAR PROPOSAL PENELITIAN DAN PENYUSUNAN SKRIPSI MAHASISWA
JURUSAN FISIKA FAKULTAS SAINS & TEKNOLOGI
UIN ALAUDDIN MAKASSAR
DEKAN FAKULTAS SAINS & TEKNOLOGI UIN ALAUDDIN MAKASSAR

- Membaca Surat Permohonan Ketua Jurusan Fakultas Sains & Teknologi UIN Alauddin Makassar, **Muriyati Tamrin NIM 60400115016** tertanggal **13 Februari 2019**, untuk melaksanakan seminar proposal
- Menimbang Bahwa untuk pelaksanaan dan kelancaran seminar proposal, perlu dibentuk panitia seminar proposal dan penyusunan skripsi.
- Mengingat
1. Undang-undang No. 20 Tahun 2003 Tentang Sistem Pendidikan Nasional;
 2. Undang-undang Nomor 17 Tahun 2003 Tentang Keuangan Negara;
 3. Undang-undang Nomor 12 Tahun 2012 Tentang Pendidikan Tinggi;
 4. Peraturan Menteri Agama RI No. 1 Tahun 2012 Tentang Perubahan Ketiga atas Peraturan Menteri Agama No. 2 Tahun 2006 Tentang Mekanisme Pelaksanaan Pembayaran atas Beban Anggaran Pendapatan dan Belanja Negara di Lingkungan Kementerian Agama;
 5. Peraturan Menteri Agama RI Nomor 25 Tahun 2013 Tentang Organisasi dan Tata Kerja UIN Alauddin Makassar Sebagaimana Telah Diubah Terakhir Dengan Peraturan Menteri Agama RI Nomor 03 Tahun 2016 Tentang Perubahan Kedua Atas Peraturan Menteri Agama Nomor 25 Tahun 2013 Tentang Organisasi dan Tata Kerja UIN Alauddin Makassar
 6. Peraturan Menteri Agama RI. Nomor 20 Tahun 2014 jo Peraturan Menteri Agama Nomor 8 Tahun 2016 tentang Statuta UIN Alauddin Makassar;
 7. Keputusan Menteri Agama Nomor 289 Tahun 1993 jo Nomor 202 B Tahun 1998 tentang Pemberian Kuasa dan Pendelegasian Wewenang Menandatangani Surat Keputusan;
 8. Keputusan Menteri Keuangan No.330/05/2008 Tentang penetapan UIN Alauddin Makassar pada Dep. Agama sebagai Instansi Pemerintah yang Menerapkan Pengelolaan Badan Layanan Umum (BLU);
 9. Keputusan Rektor UIN Alauddin No. 200 tahun 2016 Tentang Pedoman Edukasi UIN Alauddin Makassar

MEMUTUSKAN

- Menetapkan
Pertama Membentuk Panitia Seminar Proposal, Jurusan Fisika Fakultas Sains dan Teknologi UIN Alauddin Makassar dengan komposisi :
- Ketua : Ihsan, S.Pd., M.Si
Sekertaris : Fitriyanti, S.Si., M.Sc
Pembimbing 1 : Rahmaniah, S.Si., M.Si
Pembimbing 2 : Ayusari Wahyuni, S.Si., M.Sc.
Penguji 1 : Muh. Said. L, S.Si., M.Pd
Penguji 2 : Dr. Abdullah, M.Ag
Pelaksana : Risnawati Salam, S.Sos.
- Kedua
1. Panitia bertugas melaksanakan seminar proposal, memberi bimbingan, petunjuk-petunjuk, perbaikan mengenai materi, metode, bahasa dan kemampuan menguasai masalah penyusunan skripsi
 2. Biaya pelaksanaan seminar proposal penelitian dibebankan kepada anggaran DiPA UIN Alauddin Makassar
 3. Apabila dikemudian hari ternyata terdapat kekeliruan dalam surat keputusan ini akan diubah dan diperbaiki sebagaimana mestinya

Surat Keputusan ini disampaikan kepada yang bersangkutan untuk diketahui dan dilaksanakan dengan penuh tanggungjawab.

Ditetapkan di : Makassar
Pada tanggal : 13 Februari 2019

Dekan
Kuasa Nomor : B.554/Un.06/FST/KP.07.6/02/2019
Tanggal 07 Februari 2019



Dr. Muh. Thahir Maloko, M.Hi
Nip. 19631231 199503 1 006